

第三届高能物理理论与实验融合发展研讨会

1 - 4 Nov, 2024

# Abelian and non-Abelian domain walls

周也铃 2024-11-03



國科大杭州高等研究院  
Hangzhou Institute for Advanced Study, UCAS

基础物理与数学科学学院  
School of Fundamental Physics and Mathematical Sciences

# 摘要

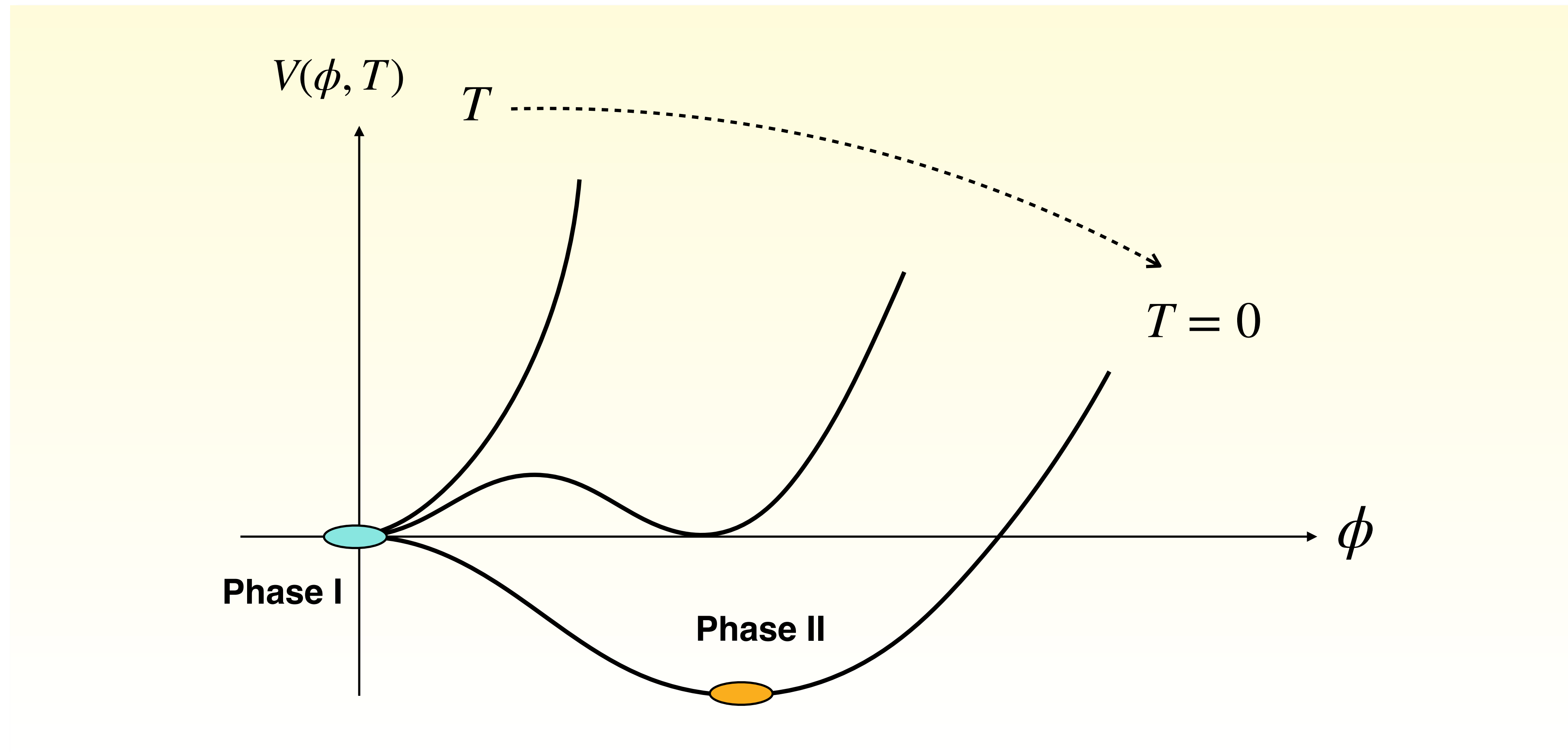
---

- 引言 — —  $Z_2$  畴壁的简介
- 一般的Abel 畴壁 — — 考虑  $Z_N$  ( $N > 2$ ) 破缺产生的畴壁
- 非 Abel 畴壁 — — 以立方体群  $S_4$  的破缺为例
- 畴壁引力波 — — 利用畴壁引力波检验分立味对称性

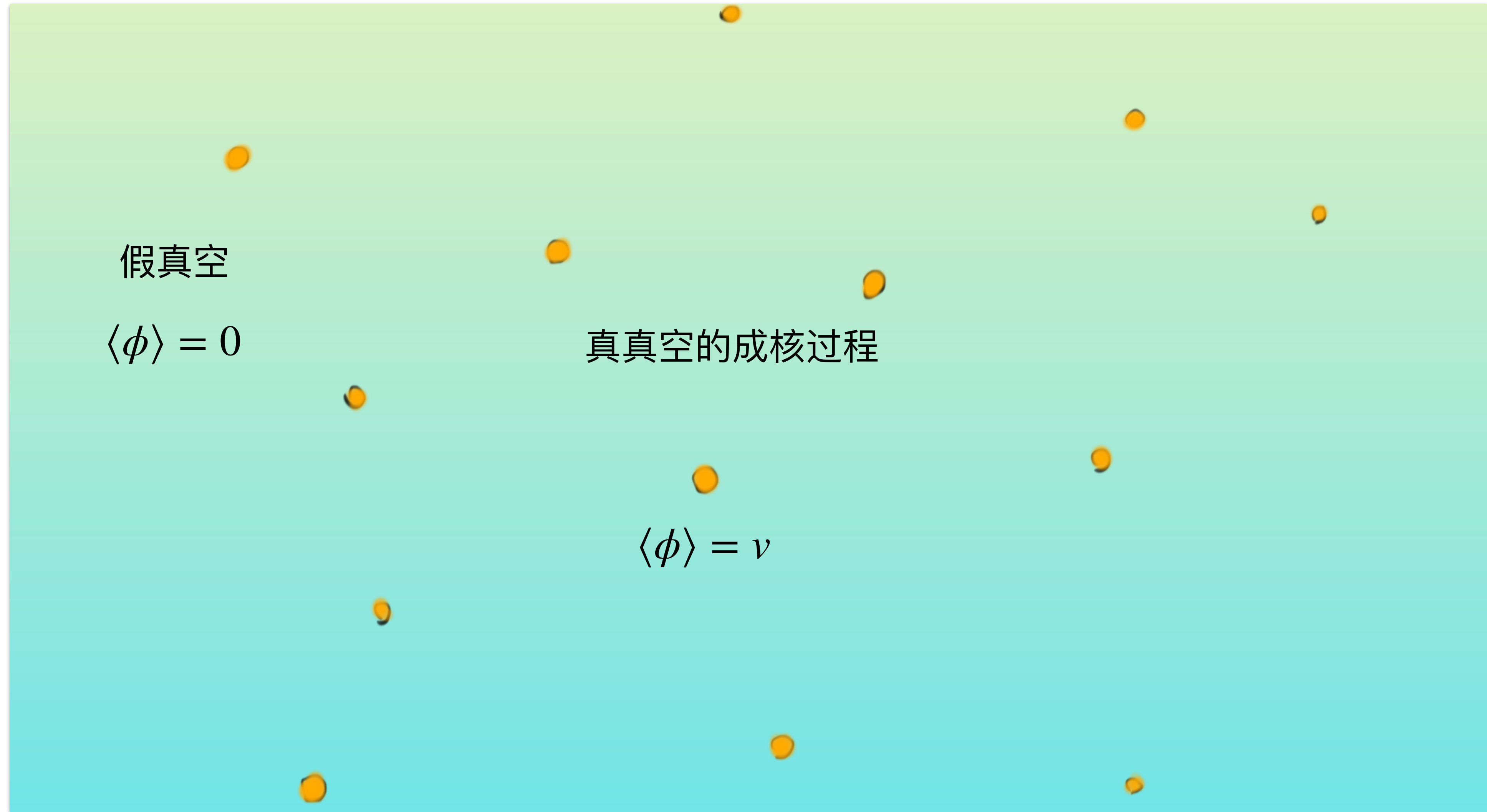
- [1] *Gravitational wave signatures from discrete flavor symmetries*,  
G. Gelmini, S. Pascoli, E. Vitagliano, YLZ, 2009.01903
- [2] *Collapsing domain walls beyond  $Z_2$* , 吴永成, 谢柯盼, YLZ, 2204.04374
- [3] *Classification of Abelian domain walls*, 吴永成, 谢柯盼, YLZ, 2205.11529
- [4] *Non-Abelian domain walls*, 付博文, S. King, L. Marsili, S. Pascoli, J. Turner, YLZ, 2409.16359

# 相变的一般过程 (假设为一阶相变)

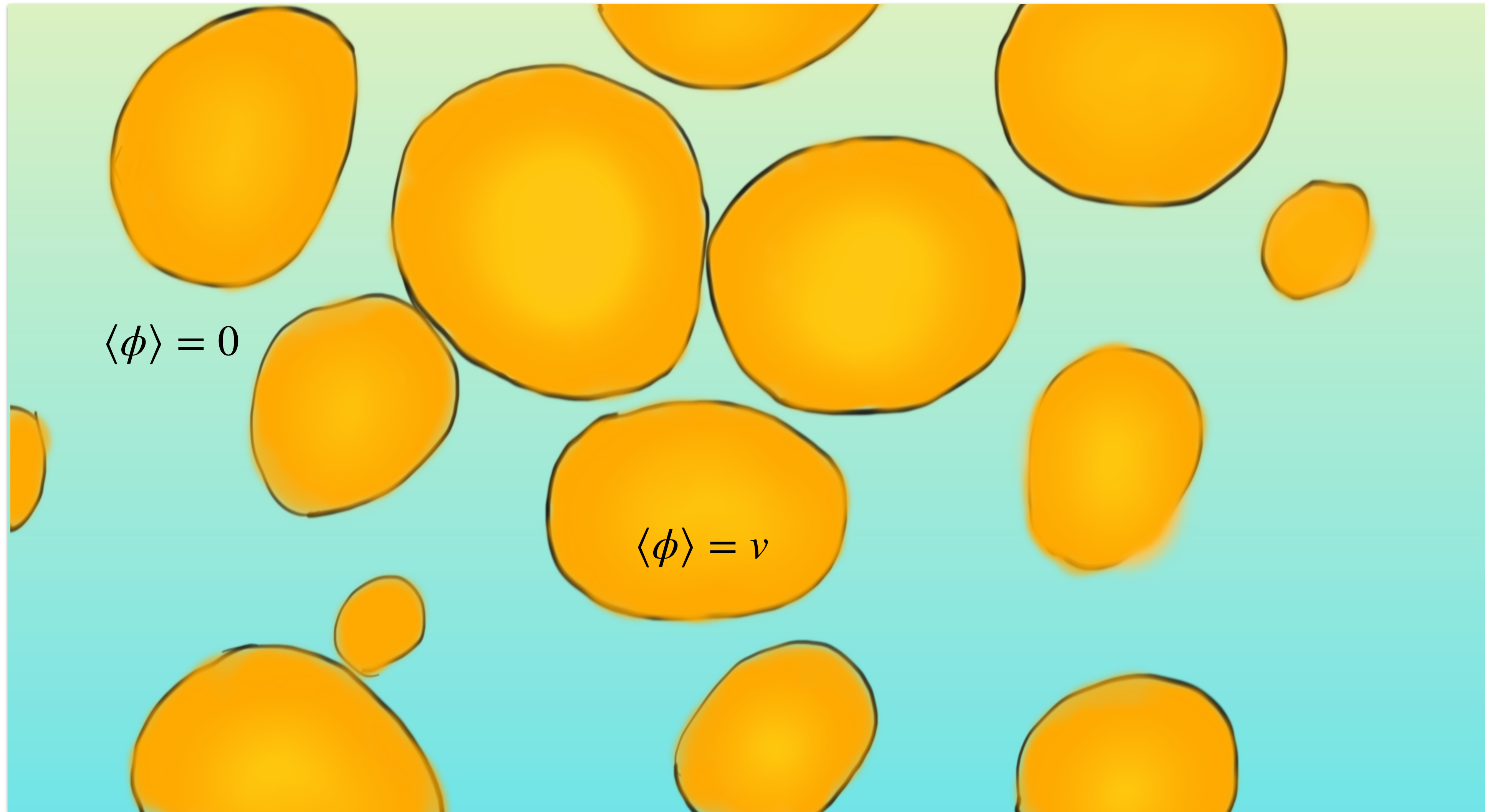
有限温度框架下的有效势  $V(\phi, T) \approx D(T^2 - T_0^2)\phi^2 - \tilde{\mu}_T \phi^3 + \frac{\lambda_T}{4}\phi^4$



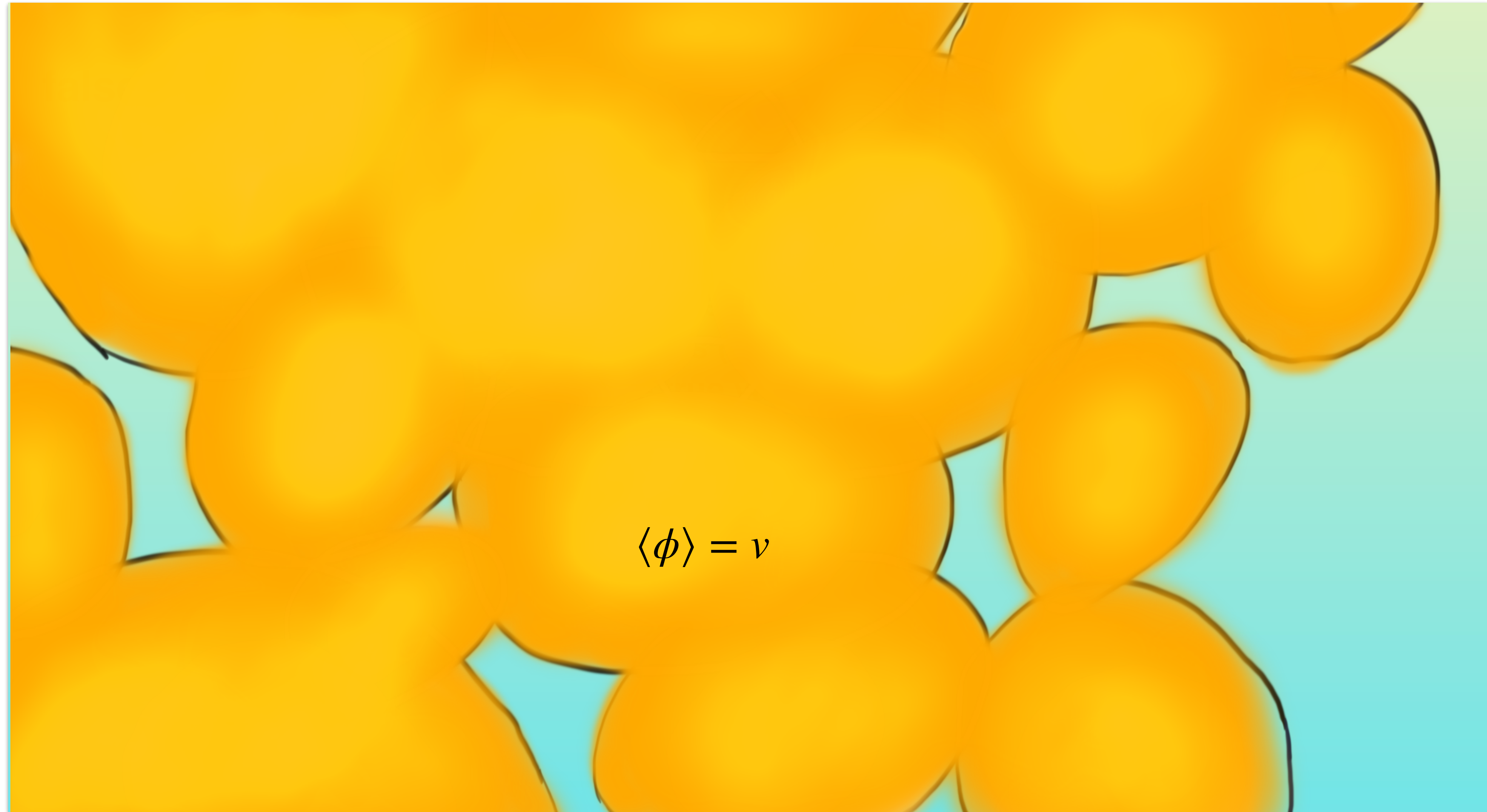
# 相变的一般过程 (假设为一阶相变)



# 相变的一般过程 (假设为一阶相变)



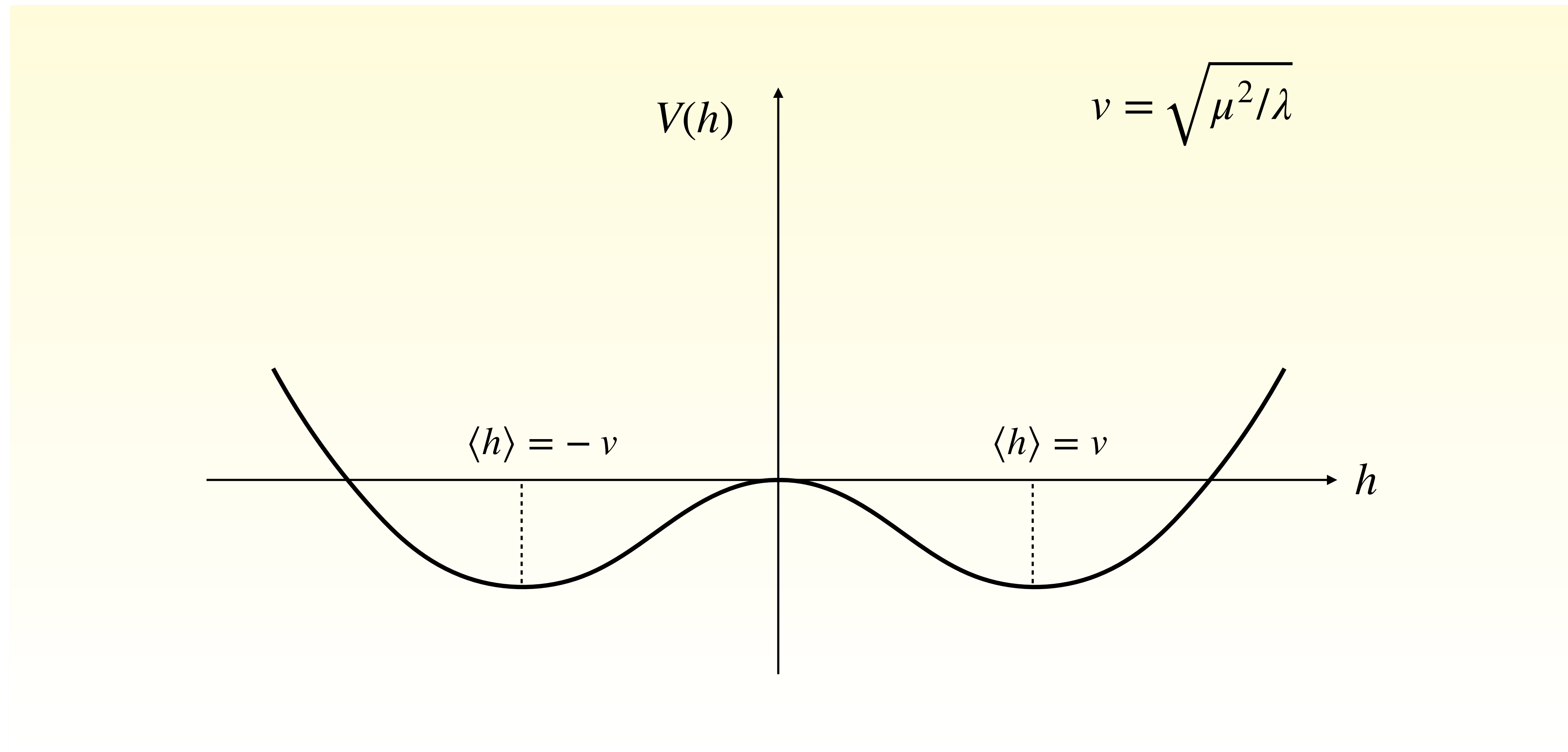
# 相变的一般过程 (假设为一阶相变)



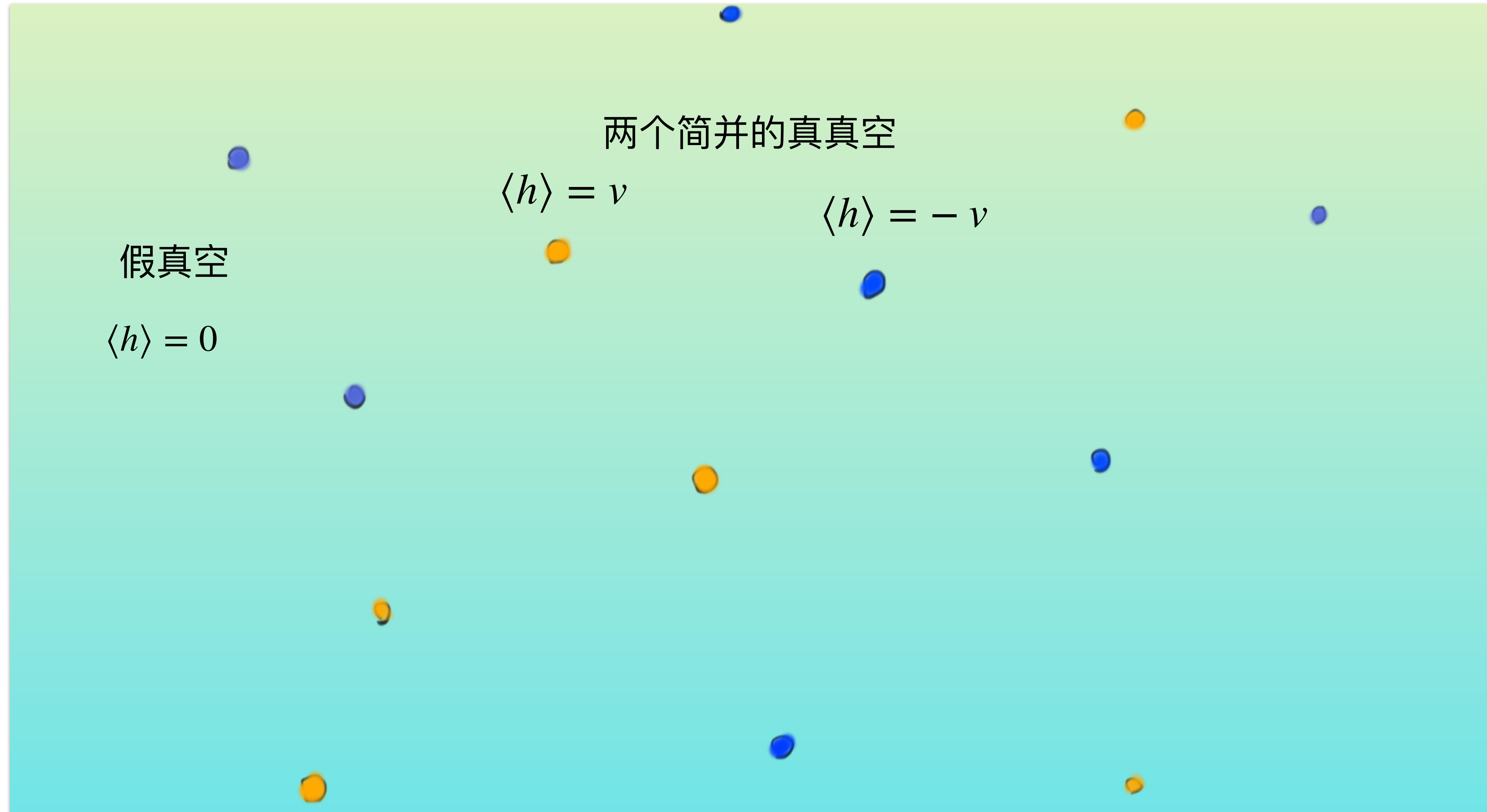
# 伴随着 $Z_2$ 对称性自发破缺的相变

$Z_2$ 对称性下实标量场  $h$  的势能 (树图阶)

$$V(h) = -\frac{1}{2}\mu^2 h^2 + \frac{\lambda}{4}h^4$$

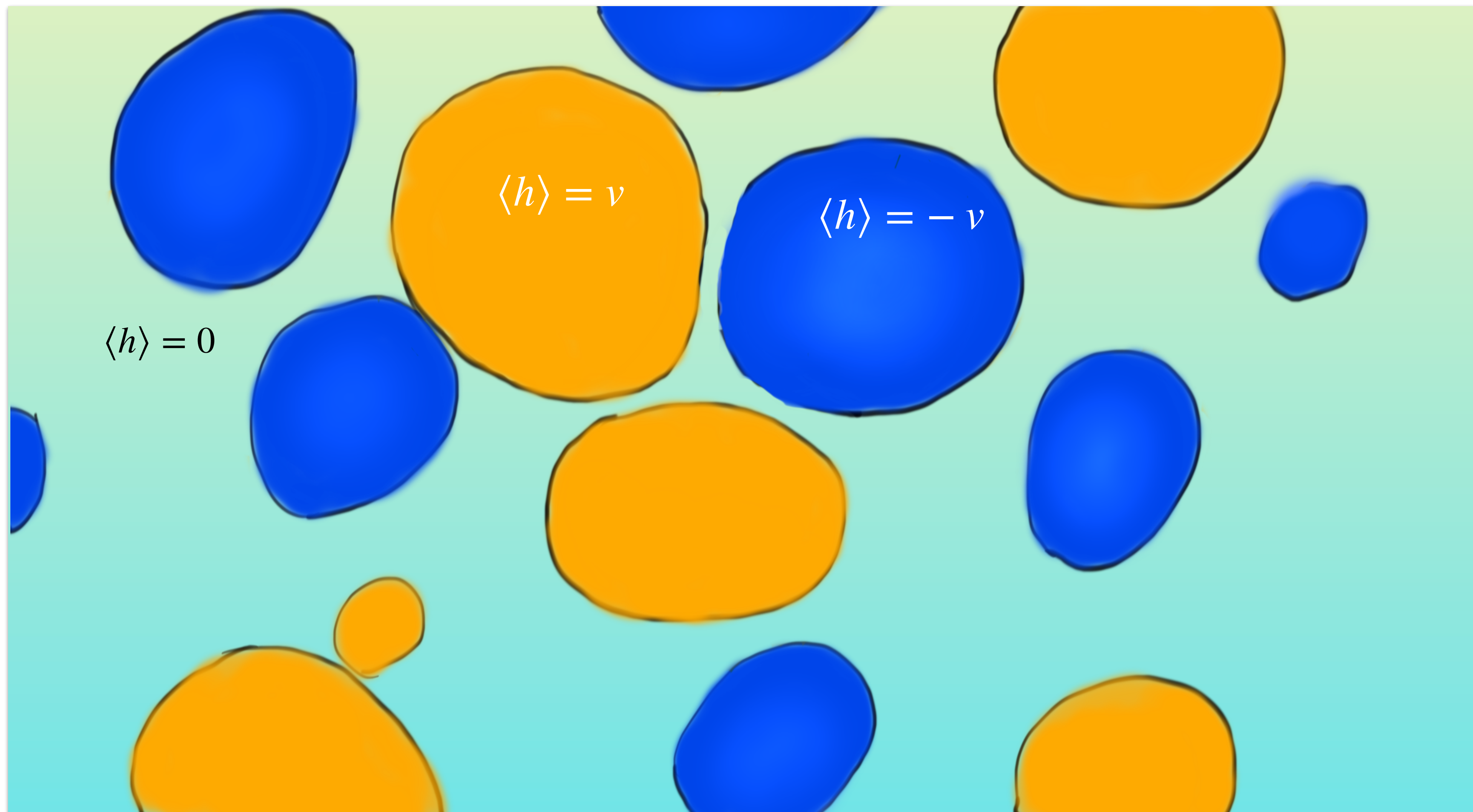


# 伴随着 $Z_2$ 对称性自发破缺的相变

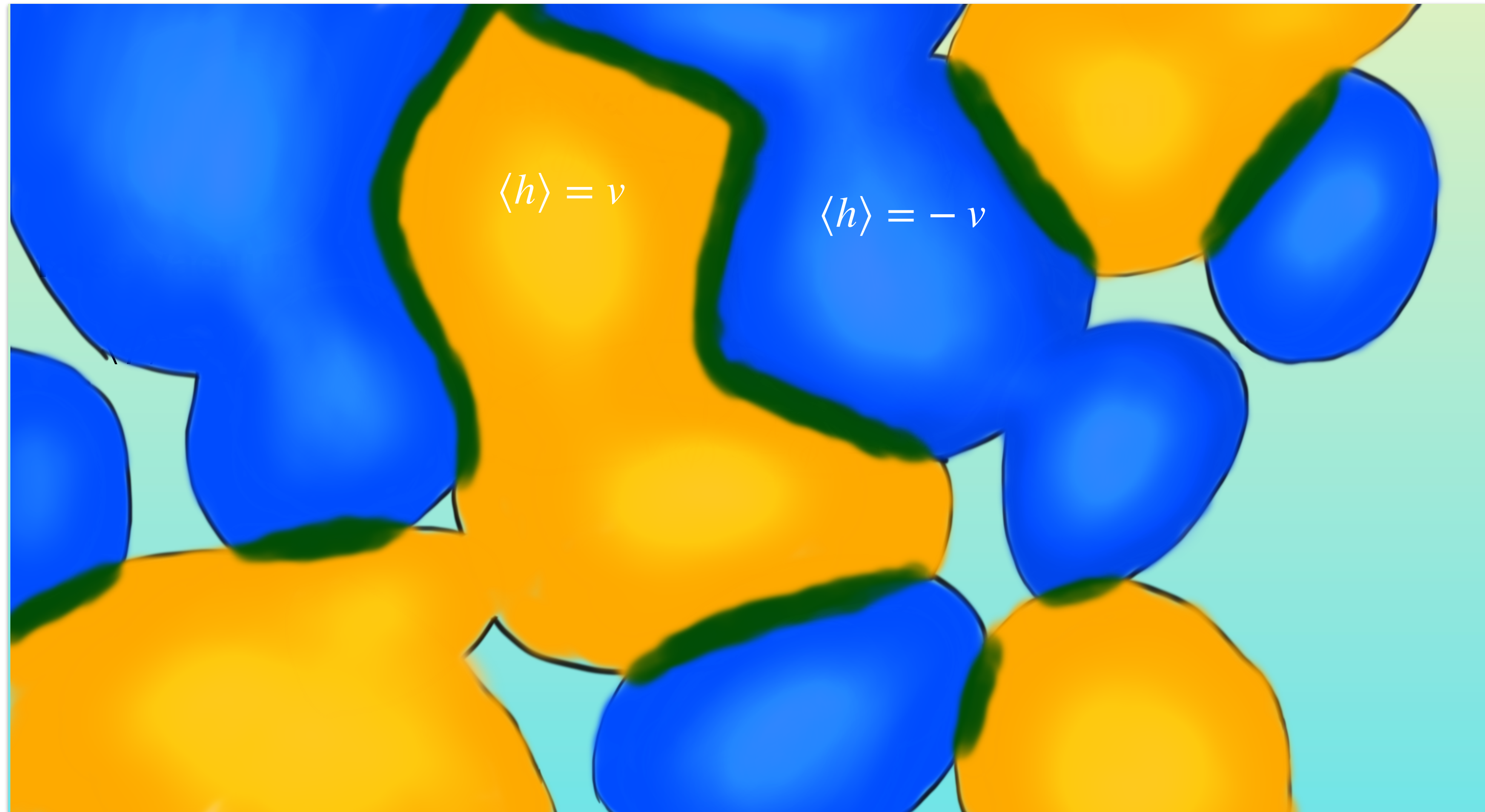




# 伴随着 $Z_2$ 对称性自发破缺的相变

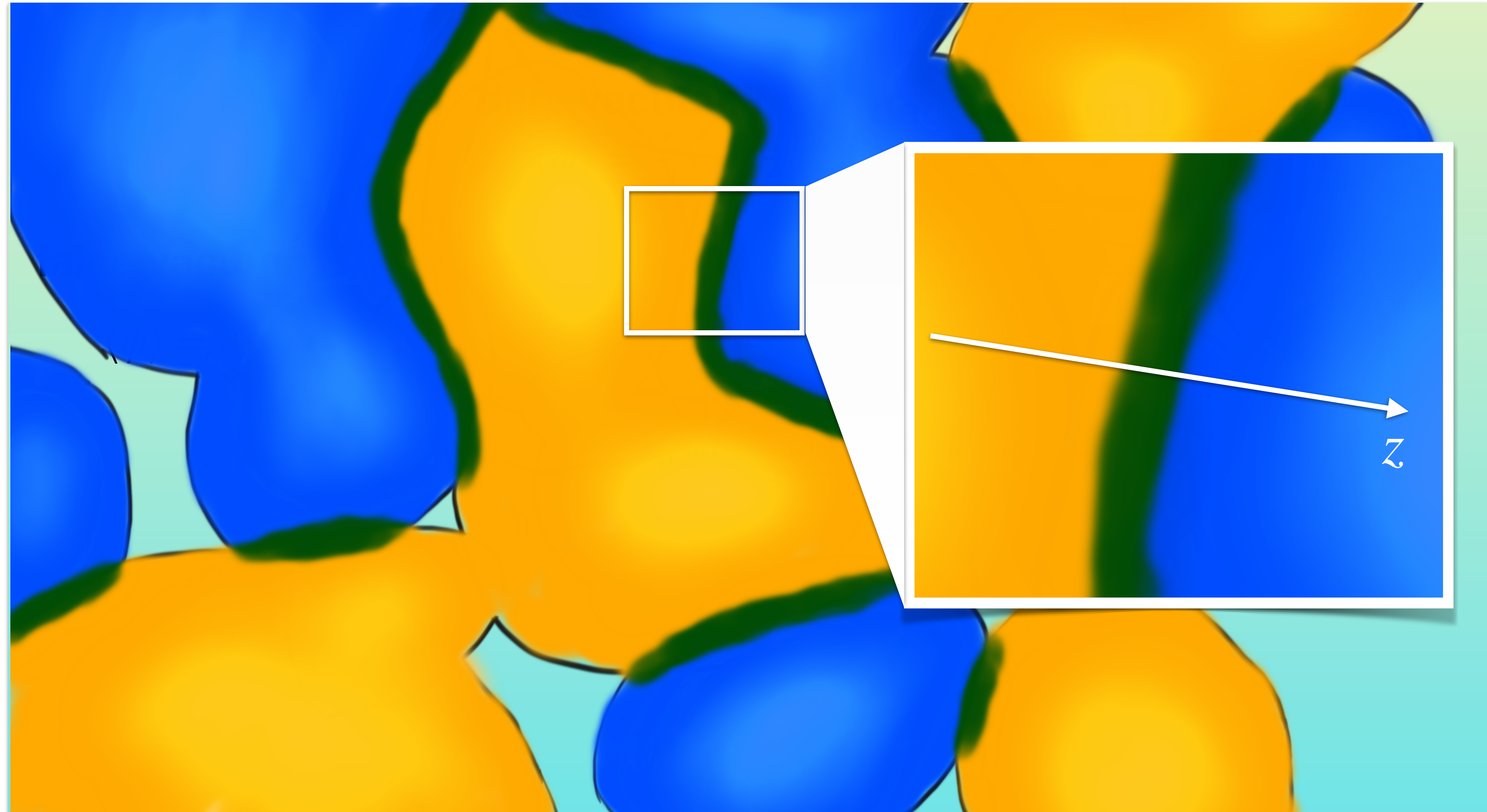


# 伴随着 $Z_2$ 对称性自发破缺的相变



# Domain walls (畴壁) : static solution of classic field in 1D

---



# $Z_2$ 畴壁 —— 最简单的畴壁

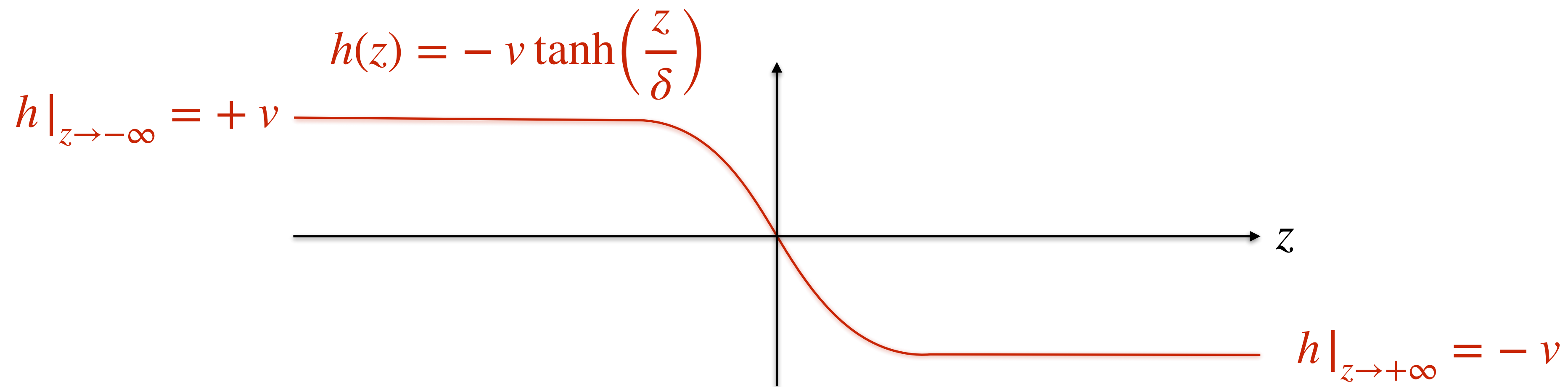
$Z_2$ 对称性下, 一个实标量场的势能

$$V = -\frac{1}{2}\mu^2 h^2 + \frac{\lambda}{4}h^4$$

场的运动方程  $\partial^2 h + \frac{\partial V(h)}{\partial h} = 0 \Rightarrow \frac{d^2}{dz^2}h(z) = \lambda h(h^2 - v^2)$

$$v = \sqrt{\frac{\mu^2}{\lambda}}$$

时间无关、沿着 $z$ 方向的经典场方程的解 (一种孤子解)



# $Z_2$ 畴壁 —— 最简单的畴壁

$Z_2$ 对称性下, 一个实标量场的势能

$$V = -\frac{1}{2}\mu^2 h^2 + \frac{\lambda}{4}h^4$$

场的运动方程  $\partial^2 h + \frac{\partial V(h)}{\partial h} = 0 \Rightarrow \frac{d^2}{dz^2}h(z) = \lambda h(h^2 - v^2)$   $v = \sqrt{\frac{\mu^2}{\lambda}}$

Tension / 畴壁的表面能

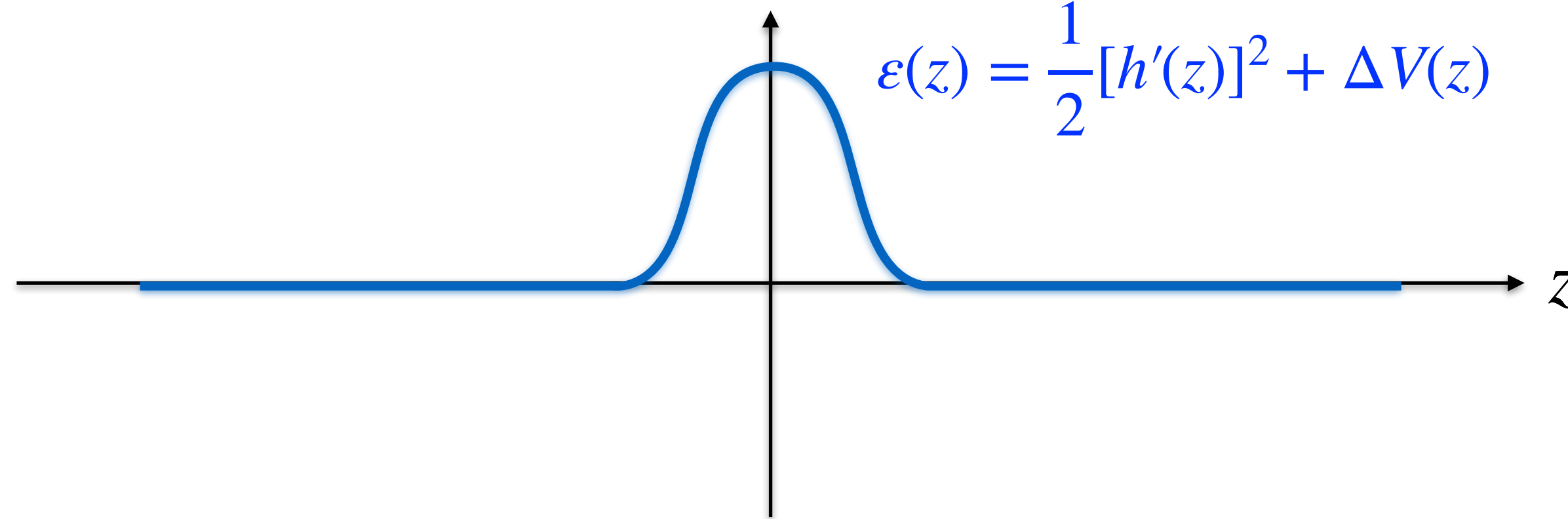
$$\sigma = \frac{4}{3}\sqrt{\frac{\lambda}{2}}v_0^3 \quad \sigma = \int_{-\infty}^{+\infty} \varepsilon(z) dz$$

Thickness / 畴壁的厚度

$$\delta = \sqrt{\frac{2}{\lambda v_0^2}}$$

$$\varepsilon(z) = \frac{1}{2}[h'(z)]^2 + \Delta V(z)$$

$$\Delta V = V - V_{\min}$$

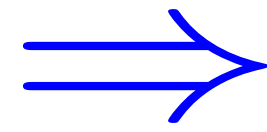


# 引入 bias term 的必要性

- 稳定的畴壁会导致宇宙学问题

$$\rho_{\text{DW}} \sim \sigma H$$

(scaling solution)

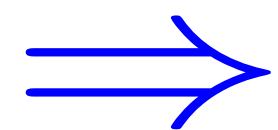


$$\frac{\rho_{\text{DW}}}{\rho_c} \sim \frac{\sigma G}{H} \sim \frac{\lambda^{1/2} v^3}{M_{\text{pl}} T^2}$$

$$\rho_c = \frac{3H^2}{8\pi G}$$

- 在粒子理论中，没有某个基本原理可以保证整体对称性是一个严格的对称性
- 引力、手征反常等效应会导致整体对称性的精确破坏

- Bias term:  $\delta V = \epsilon v h \left( \frac{1}{3} h^2 - v^2 \right)$  Hiramatsu, Kawasaki, Saikawa, 1002.1555



真空的劈裂

$$(V_{\text{bias}})_{10} = V|_{+v} - V|_{-v} = -\frac{4}{3} \epsilon v^4$$

- ◆ 得足够小，使得不同（近）简并真空能同时产生，并使畴壁可以存在一段时间
  - ◆ 又不能太小，畴壁不能太稳定，它们得在BBN之前崩塌，避免跟宇宙观测相矛盾
- 畴壁会产生引力波，频谱的峰值对应畴壁的崩塌（由bias导致）

# 超越 $Z_2$ 畴壁 —— 动机

---

- 强CP问题,  $U(1)_{PQ}$  破缺后可能会导致  $Z_N$  P. Sikivie, 1982
- 超对称中可能引入的分立对称性  
比如 NMSSM中的  $Z_3$  对称性  
Review in Chung, Everett, Kane, King, Lykken, Wang, 0312378
- Abel的分立味对称性  $Z_N$   
Reviews e.g.,  
Altarelli, Feruglio, 1002.0211
- 非Abel的分立味对称性  $A_4, S_4, \dots$   
King, Luhn, 1301.1340;  
Xing, 1909.09610;  
Feruglio, Romanino, 1912.06028
- .....

# $Z_N$ ( $N > 2$ ) 及其真空结构

$Z_N$ 对称性下, 一个复标量场  $\phi = (h + ia)/\sqrt{2}$  的势能

$$V = -\mu^2 |\phi|^2 + \lambda_1 |\phi|^4 - \lambda_2 \mu^{4-N} (\phi^N + \phi^{*N})$$

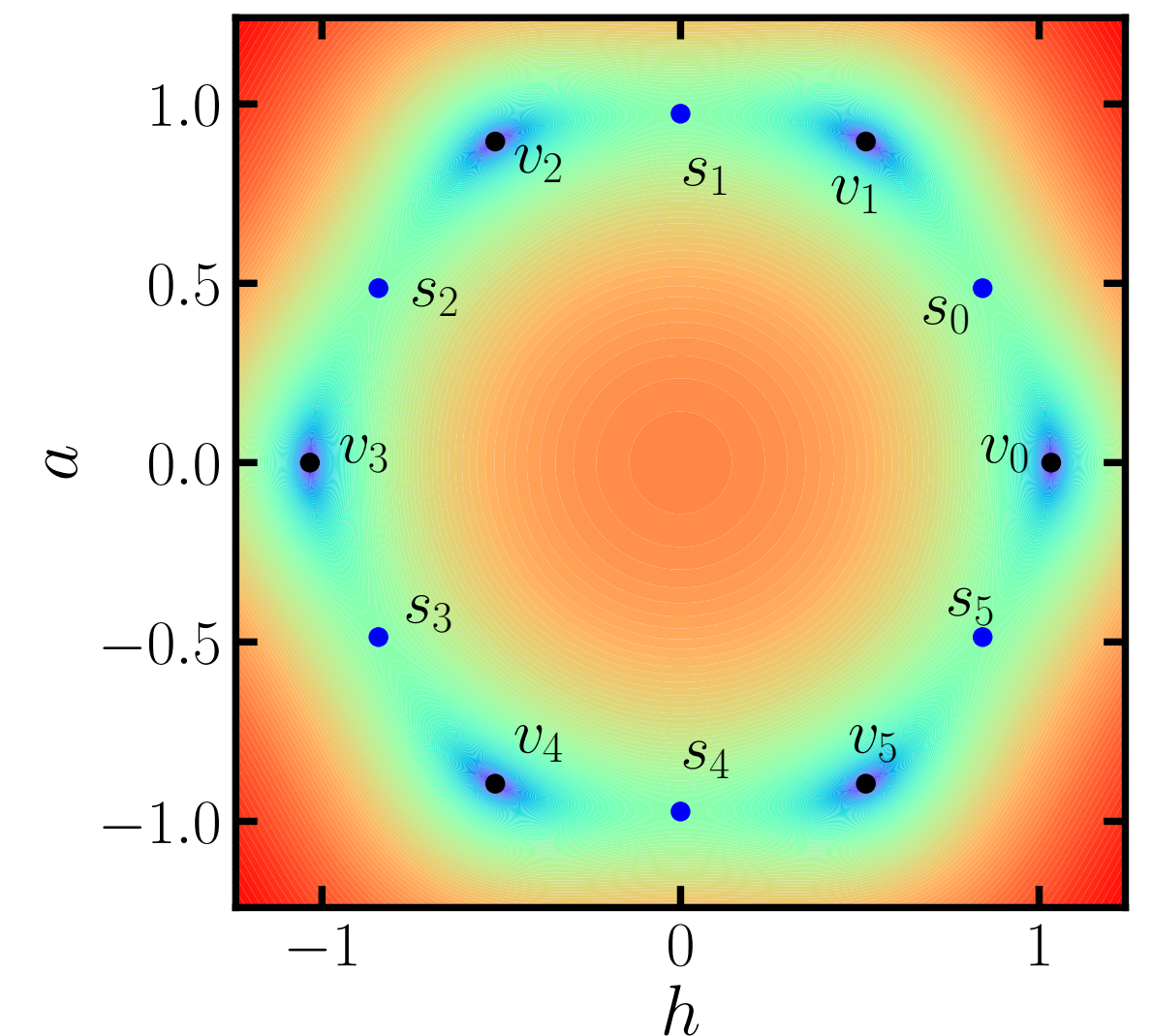
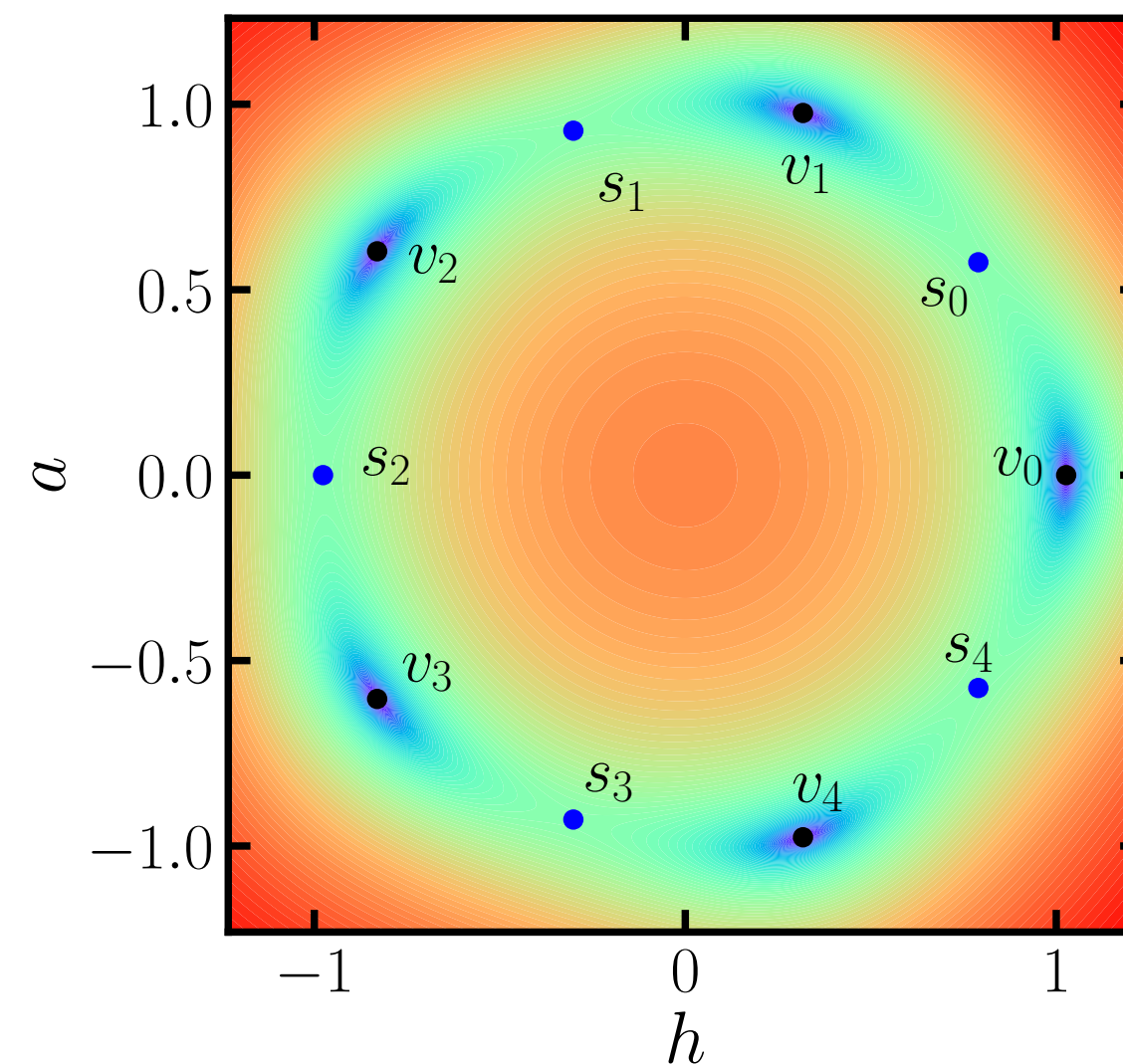
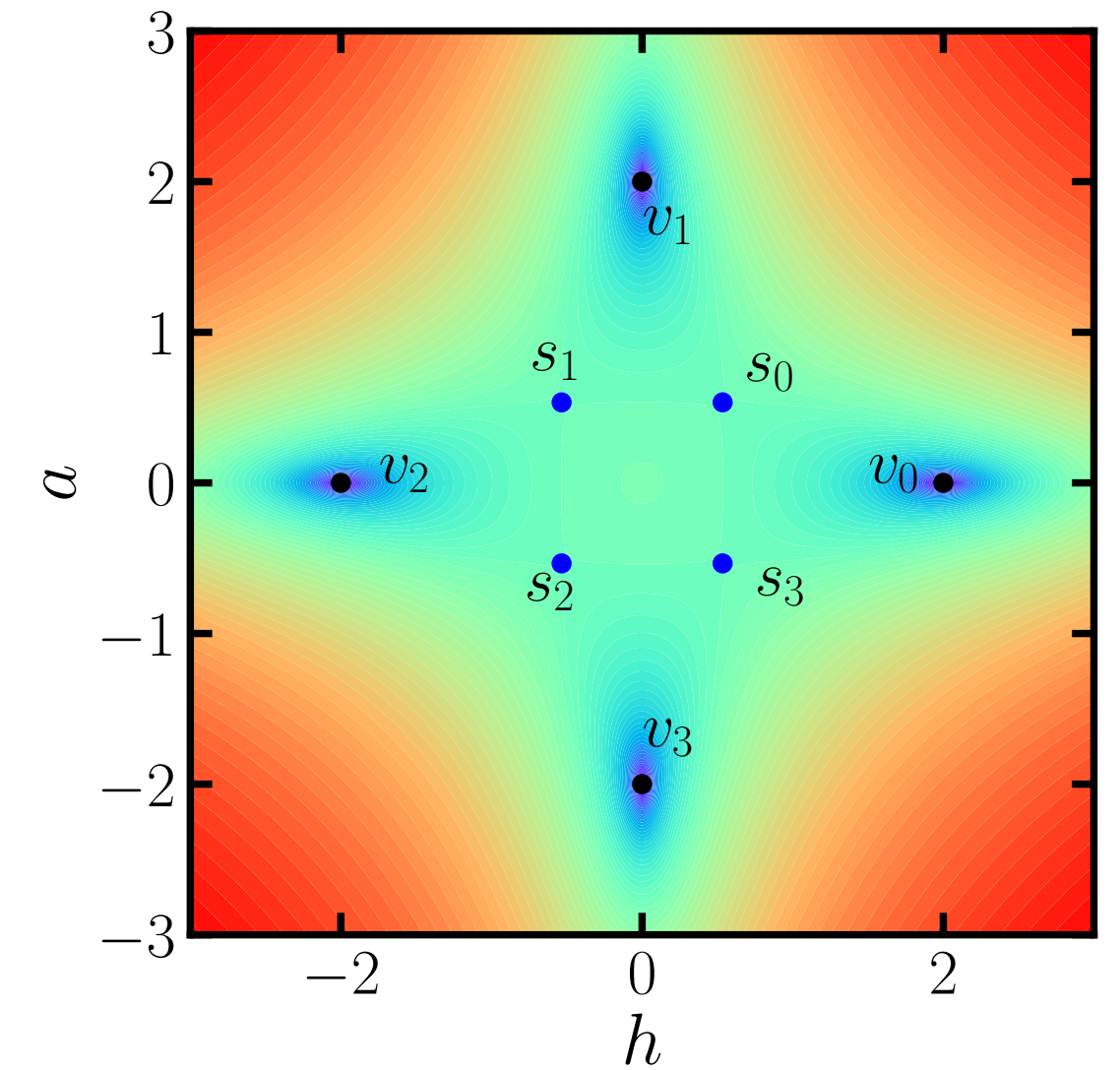
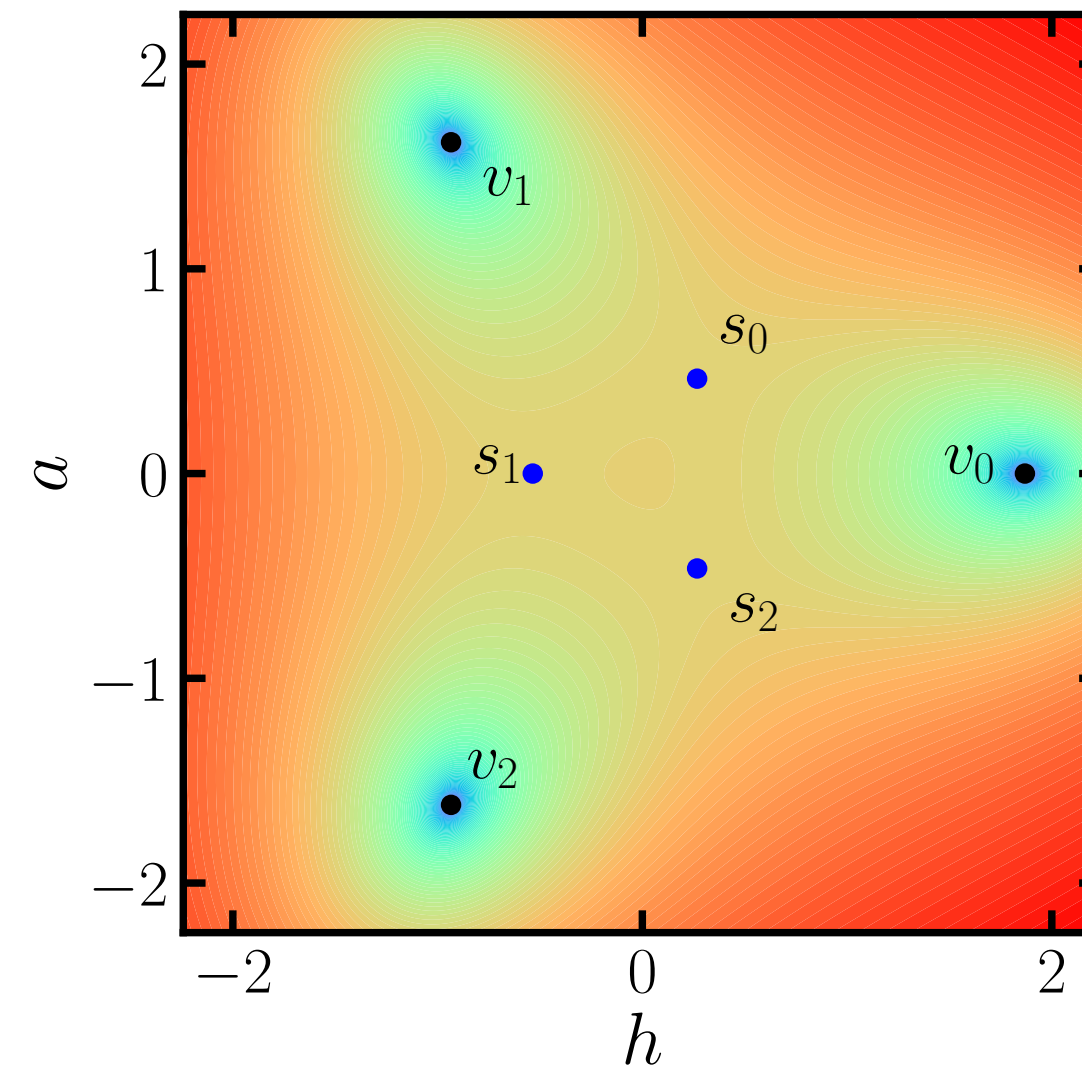
(为了简化讨论, 假设没有CP破坏)

$N$  个简并真空:

$$v_k = v_0 e^{i2\pi \frac{k}{N}}$$

$$k = 0, 1, \dots, N-1$$

吴永成, 谢柯盼,  
YLZ, 2205.11529





# Z<sub>3</sub> 畴壁

Z<sub>3</sub> 对称性的势能

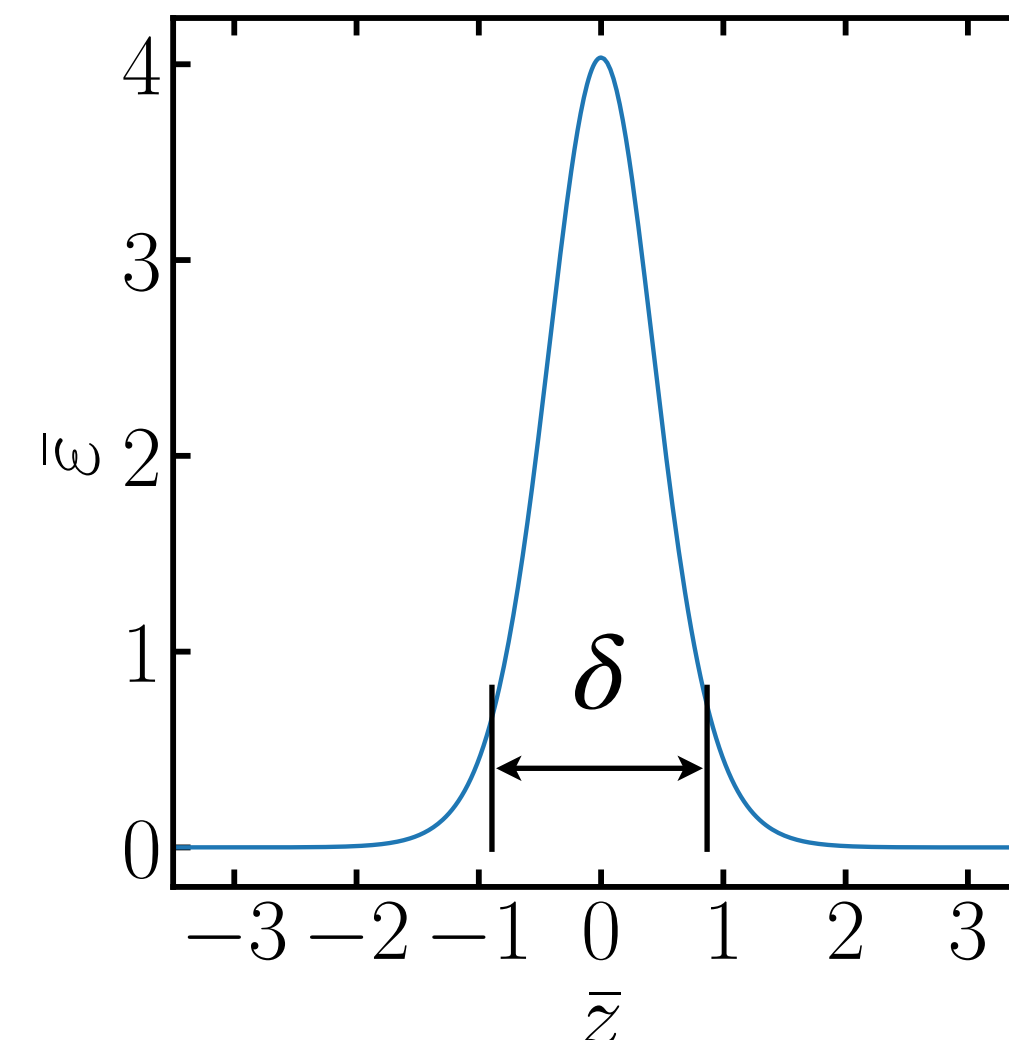
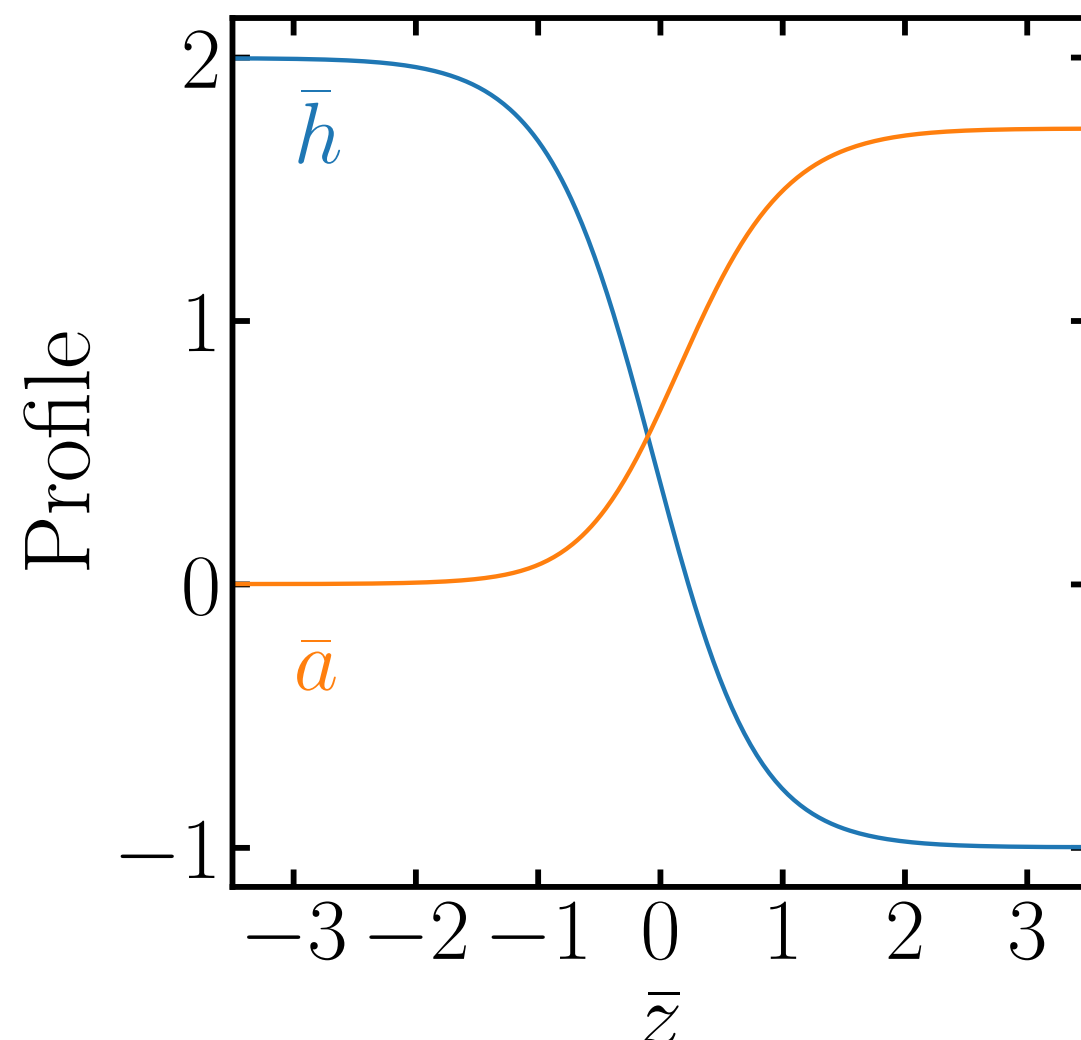
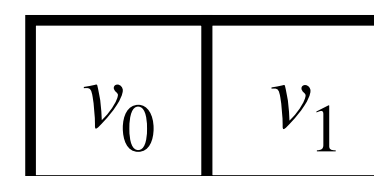
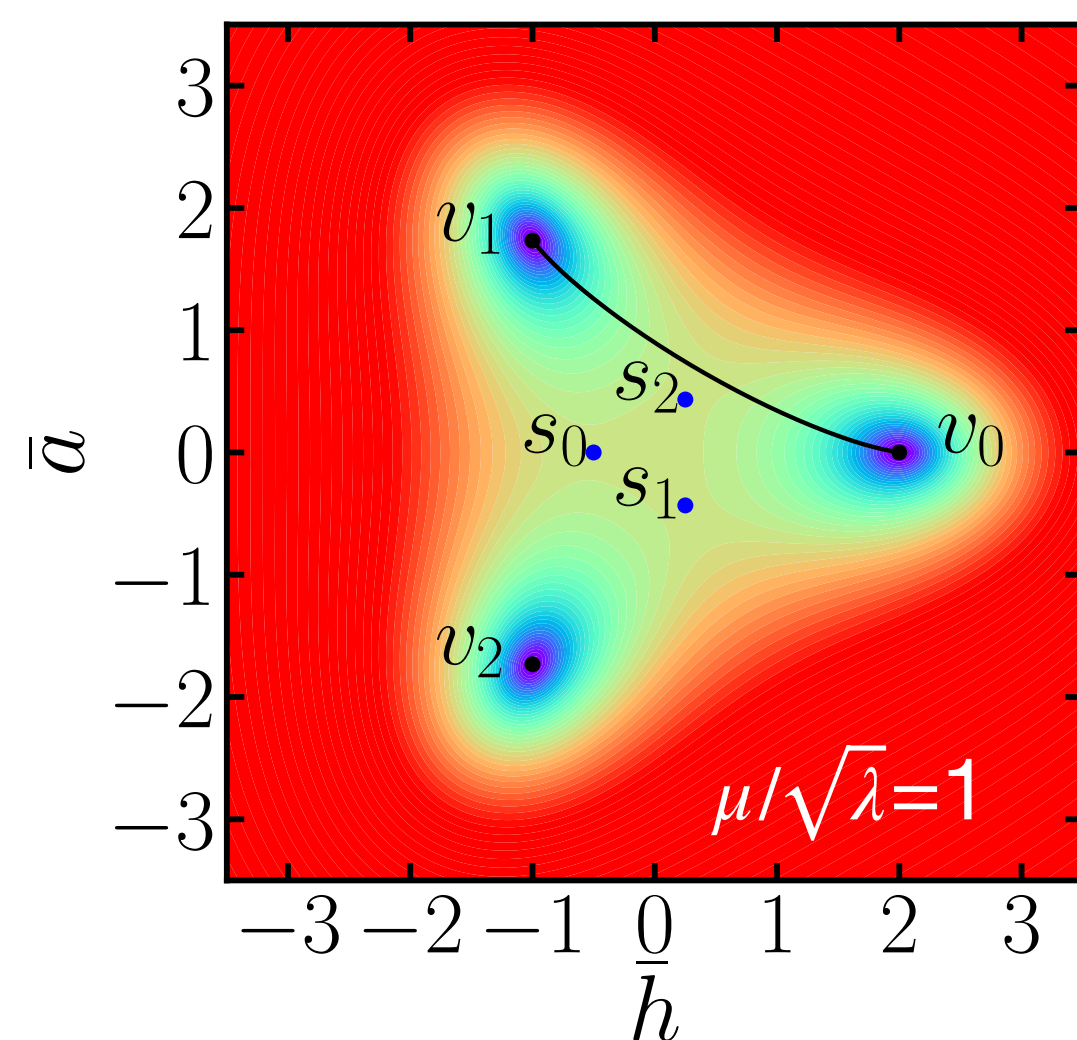
$$V = -\mu^2 |\phi|^2 + \lambda_1 |\phi|^4 - \lambda_2 \mu (\phi^3 + \phi^{*3}) \quad \beta = 3\lambda_2 / \sqrt{8\lambda_1} > 0$$

3 个真空

$$v_k = v_0 e^{i2\pi k/3} \quad k = 0, 1, 2$$

$$v_0 = \frac{\mu}{\sqrt{2\lambda_1}} (\beta + \sqrt{1 + \beta^2})$$

$$\beta = 3/4$$



$$\varepsilon(z) = \frac{1}{2} \{ [h'(z)]^2 + [a'(z)]^2 \} + \Delta V(z)$$

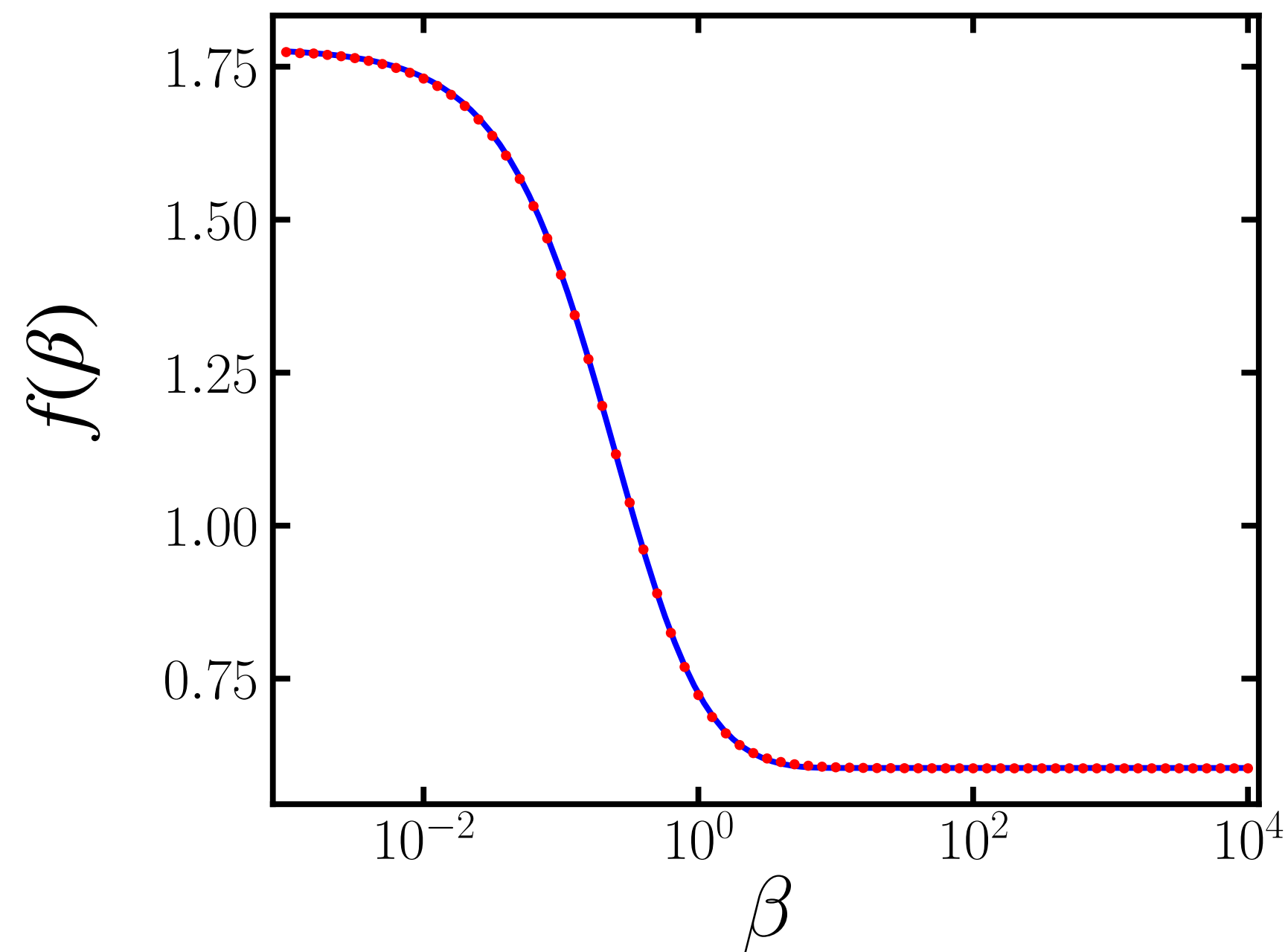
表面能  $\Rightarrow \sigma = \int_{-\infty}^{+\infty} \varepsilon(z) dz$

厚度

$\Rightarrow \int_{-\delta/2}^{\delta/2} dz \varepsilon(z) = 64\% \times \sigma$

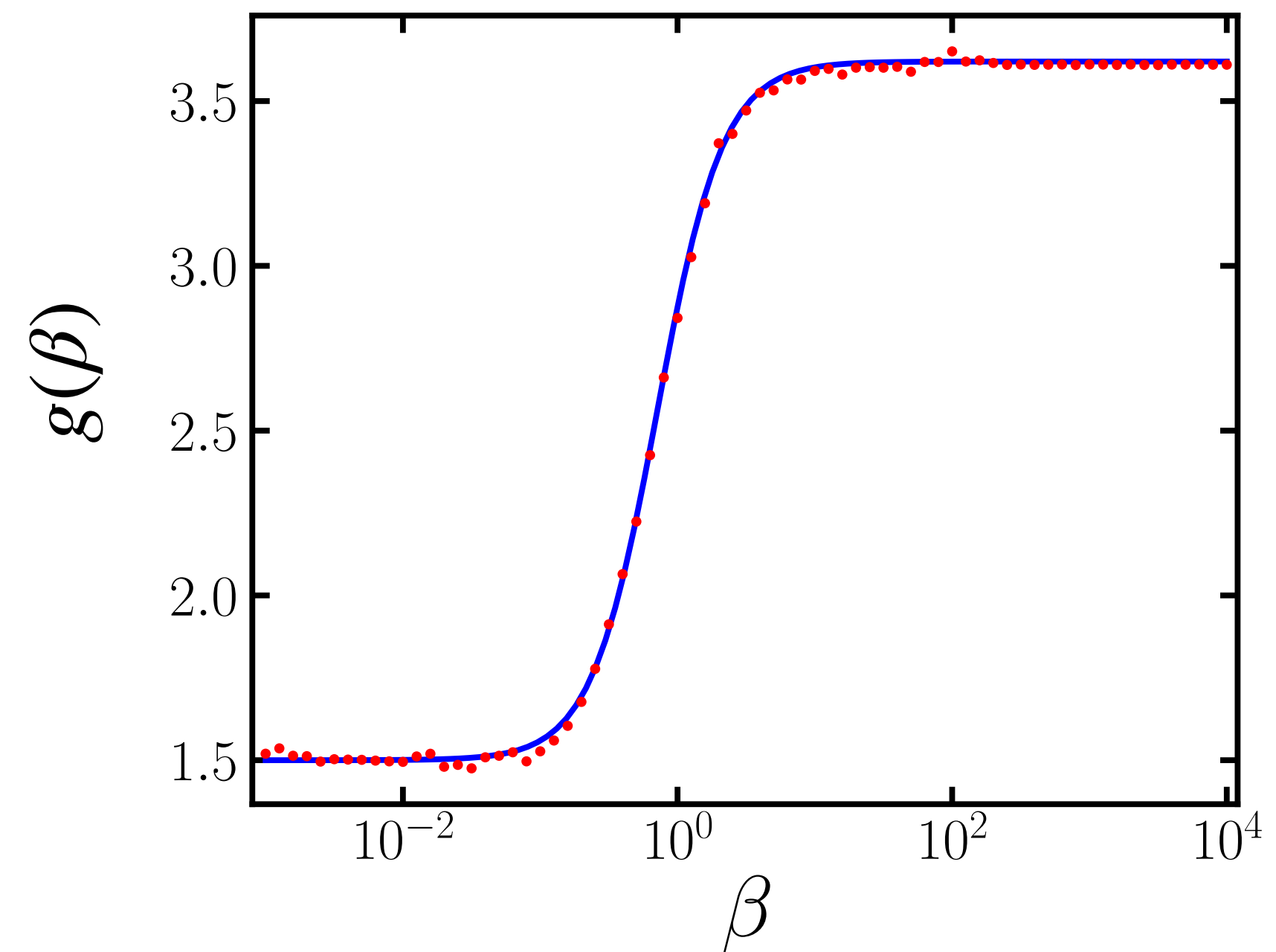
# Z<sub>3</sub> 畴壁

Tension  $\sigma = m_a v_0^2 f(\beta)$



$$f(\beta) = 0.604 + \frac{0.234}{e^{0.826\beta} + 0.435\beta^2 - 0.801}$$

Thickness  $\delta = m_a^{-1} g(\beta)$



$$g(\beta) = 3.62 - \frac{2.12}{1 + 1.85\beta^{1.81}}$$

$m_a$  mass of pseudo Nambu-Goldstone boson

# Z<sub>4</sub> 畴壁

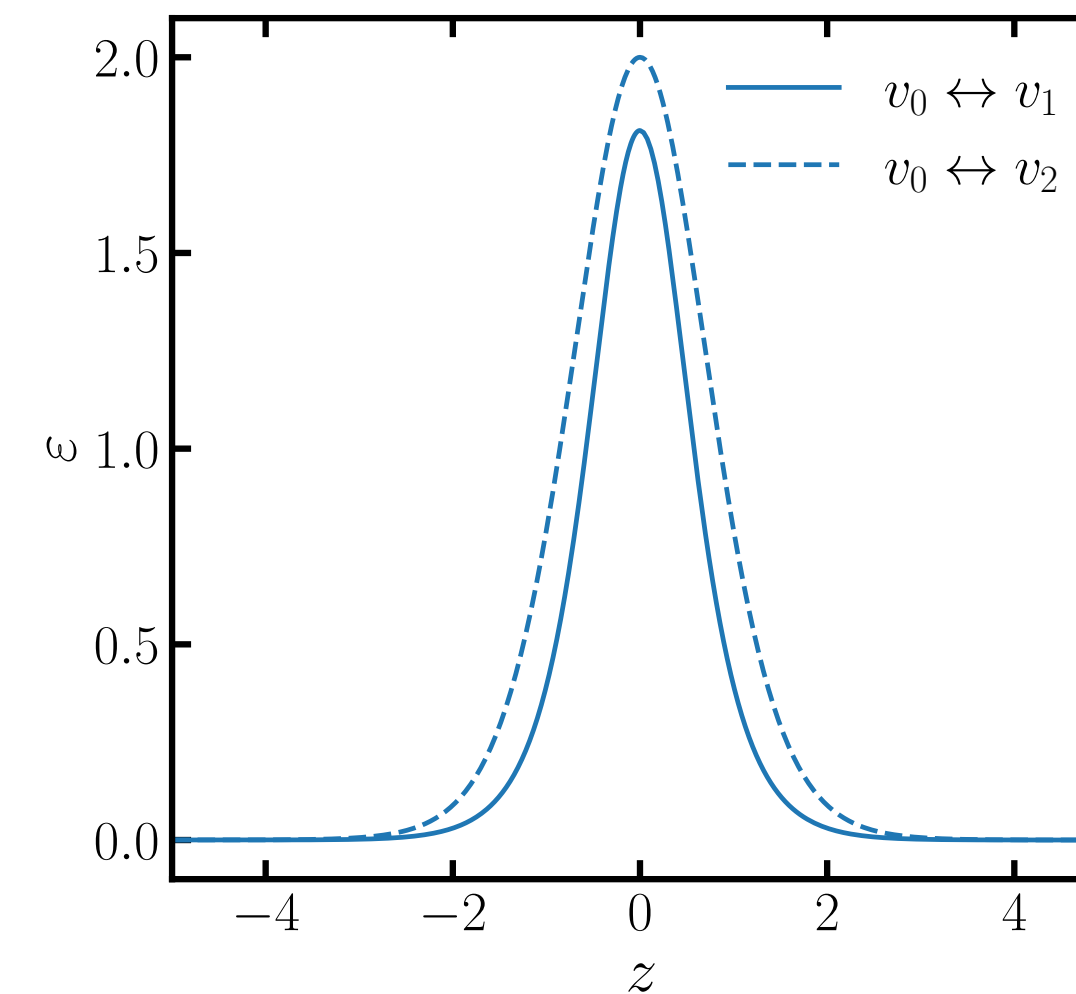
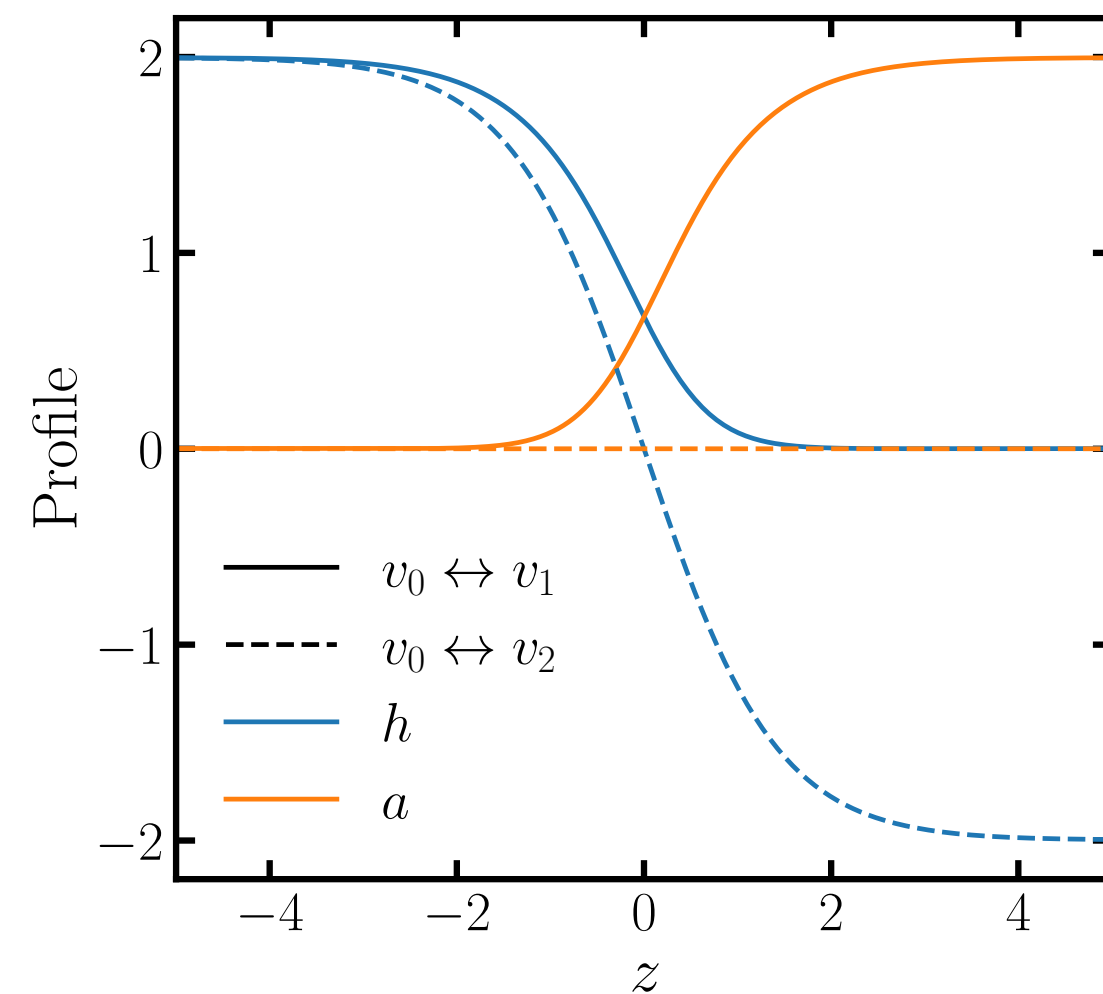
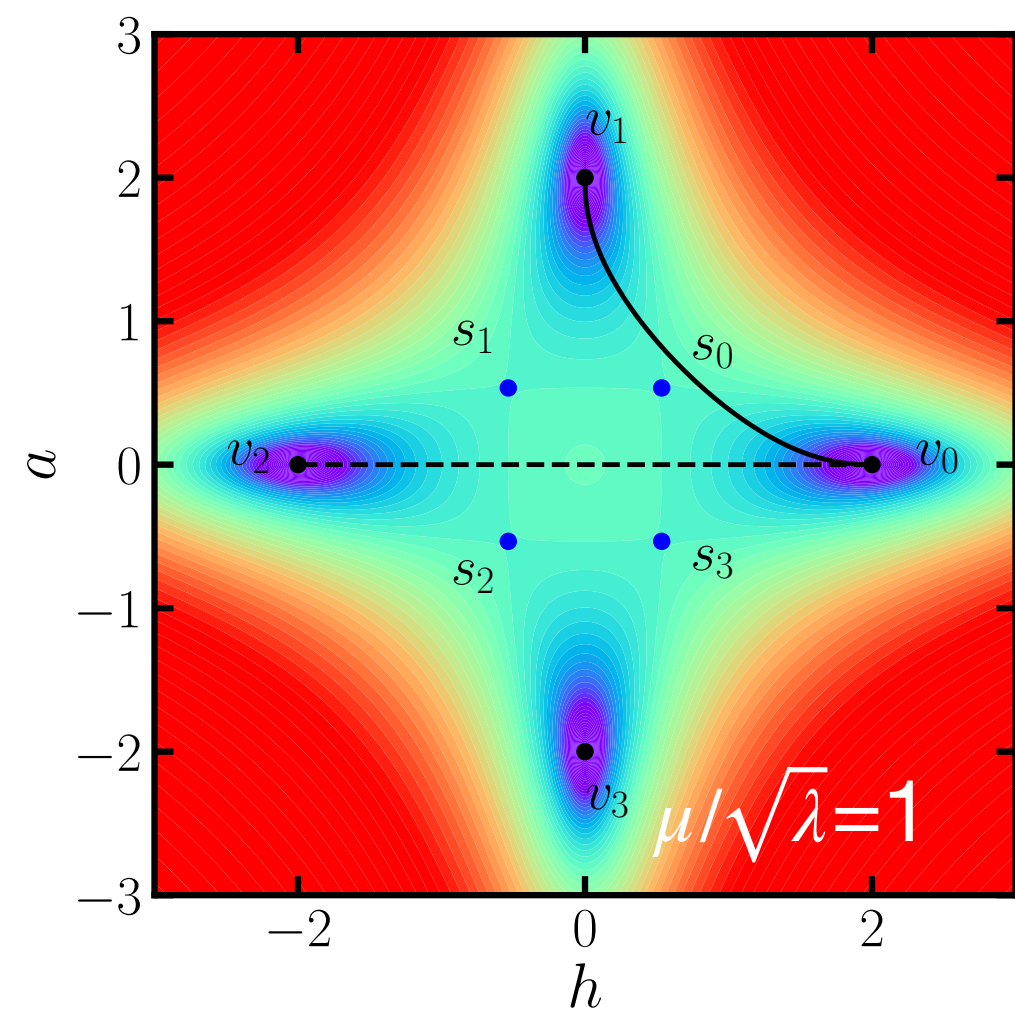
Z<sub>4</sub>-invariant potential  $V = -\mu^2 |\phi|^2 + \lambda_1 |\phi|^4 - \lambda_2 (\phi^4 + \phi^{*4})$

$$\beta \equiv 2\lambda_2/\lambda_1$$

$$v_k = v_0 e^{i\frac{2\pi}{4}k} \quad k = 0, 1, 2, 3$$

$$v_0 = \frac{\mu}{\sqrt{2\lambda_1(1-\beta)}}$$

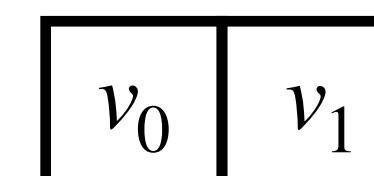
$$\beta = 3/4$$



Adjacent walls:

separating adjacent walls in the field space

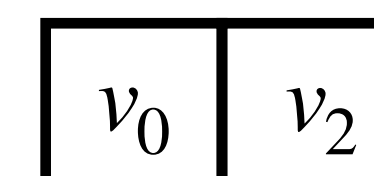
e.g., that separating  $v_0$  and  $v_1$



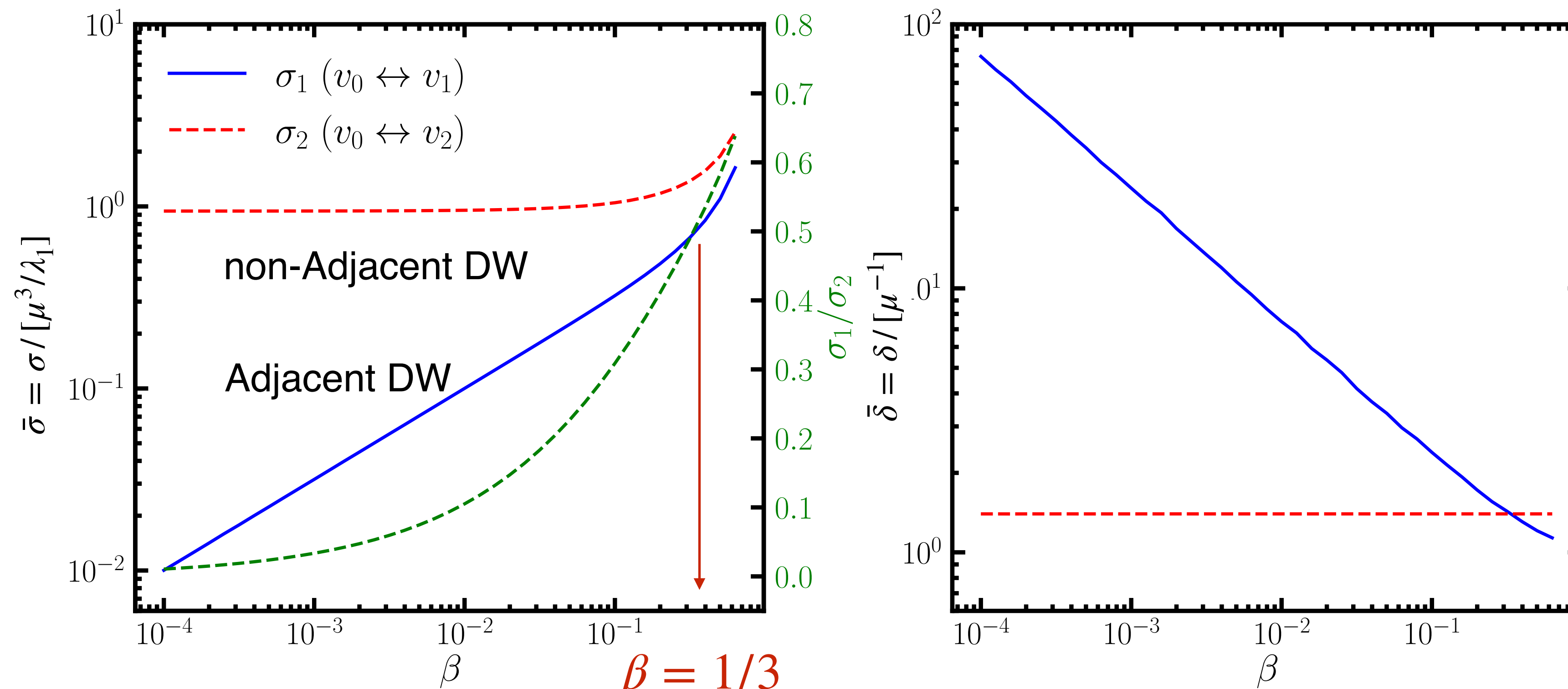
Non-adjacent walls:

separating non-adjacent walls

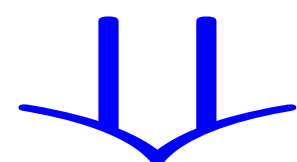
e.g., that separating  $v_0$  and  $v_2$



# Z<sub>4</sub> 畴壁



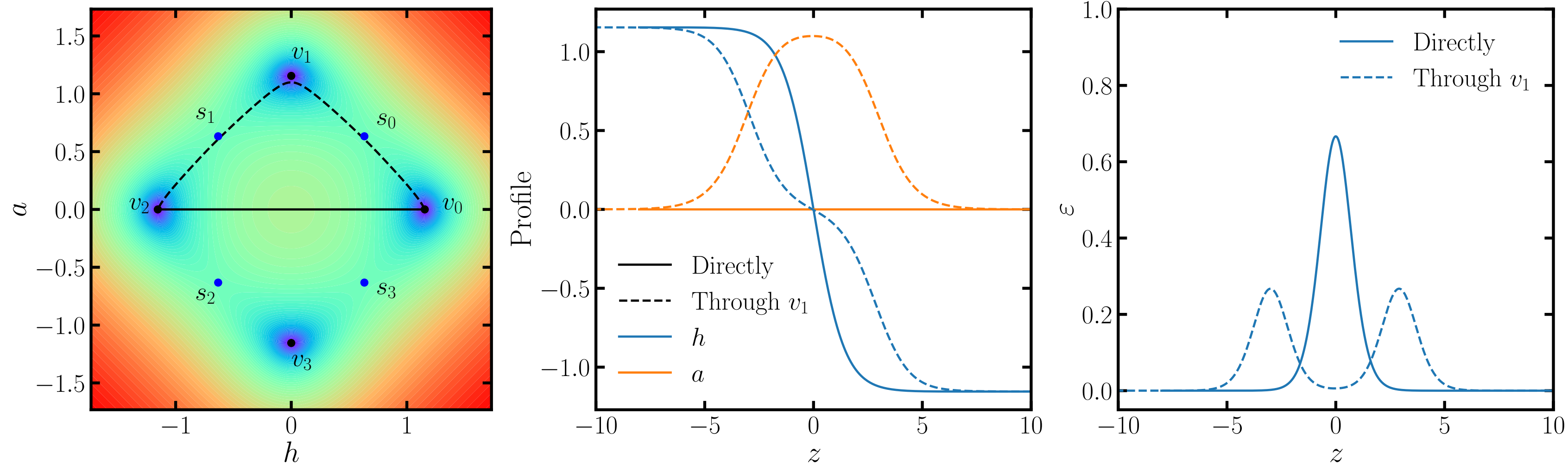
$$\beta = 1/3$$



$$\bar{\sigma}_{\text{non-adj}} = 2 \bar{\sigma}_{\text{adj}} = \sqrt{2}$$

# $Z_4$ 畴壁

$$\beta = 1/4$$

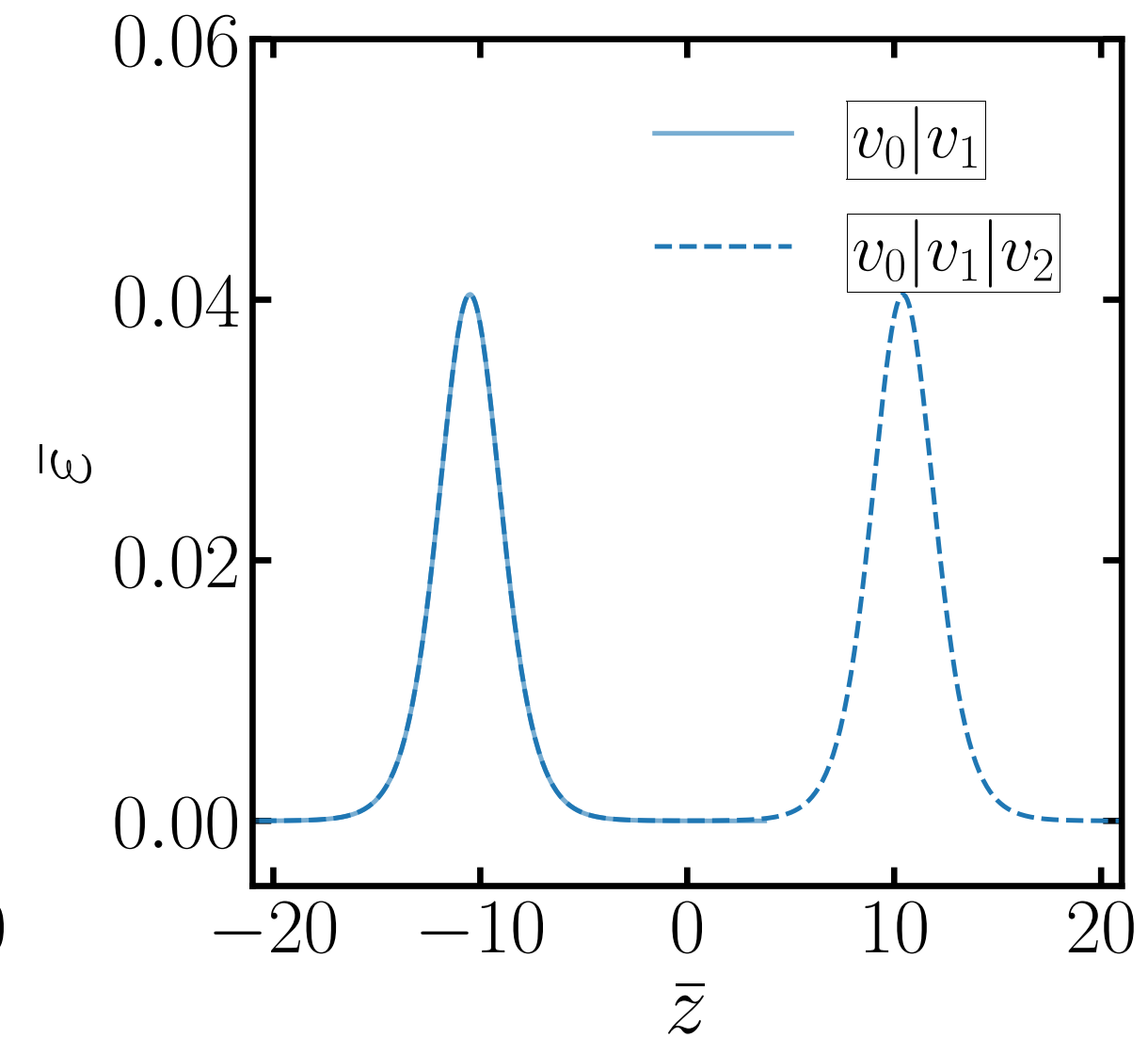
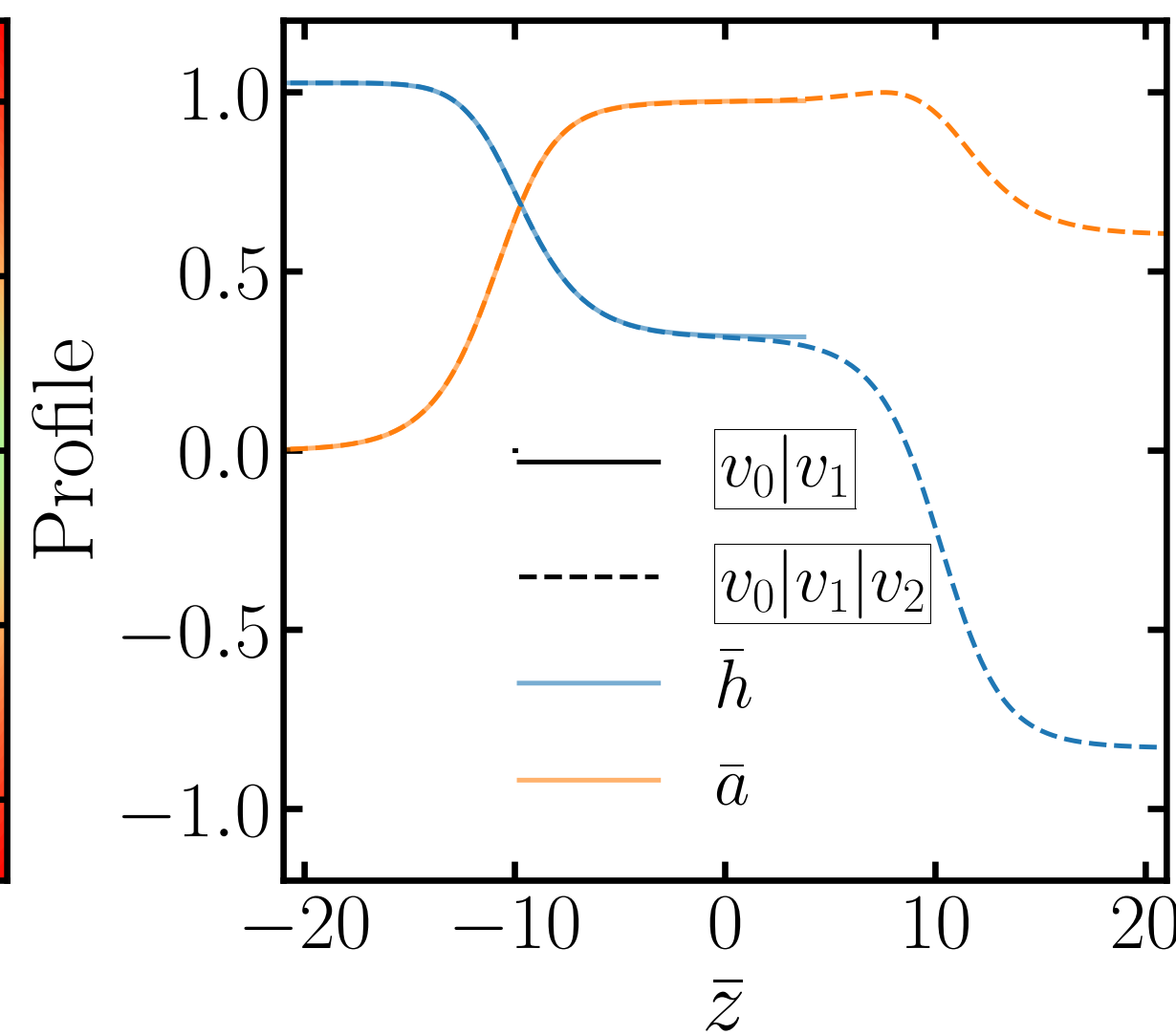
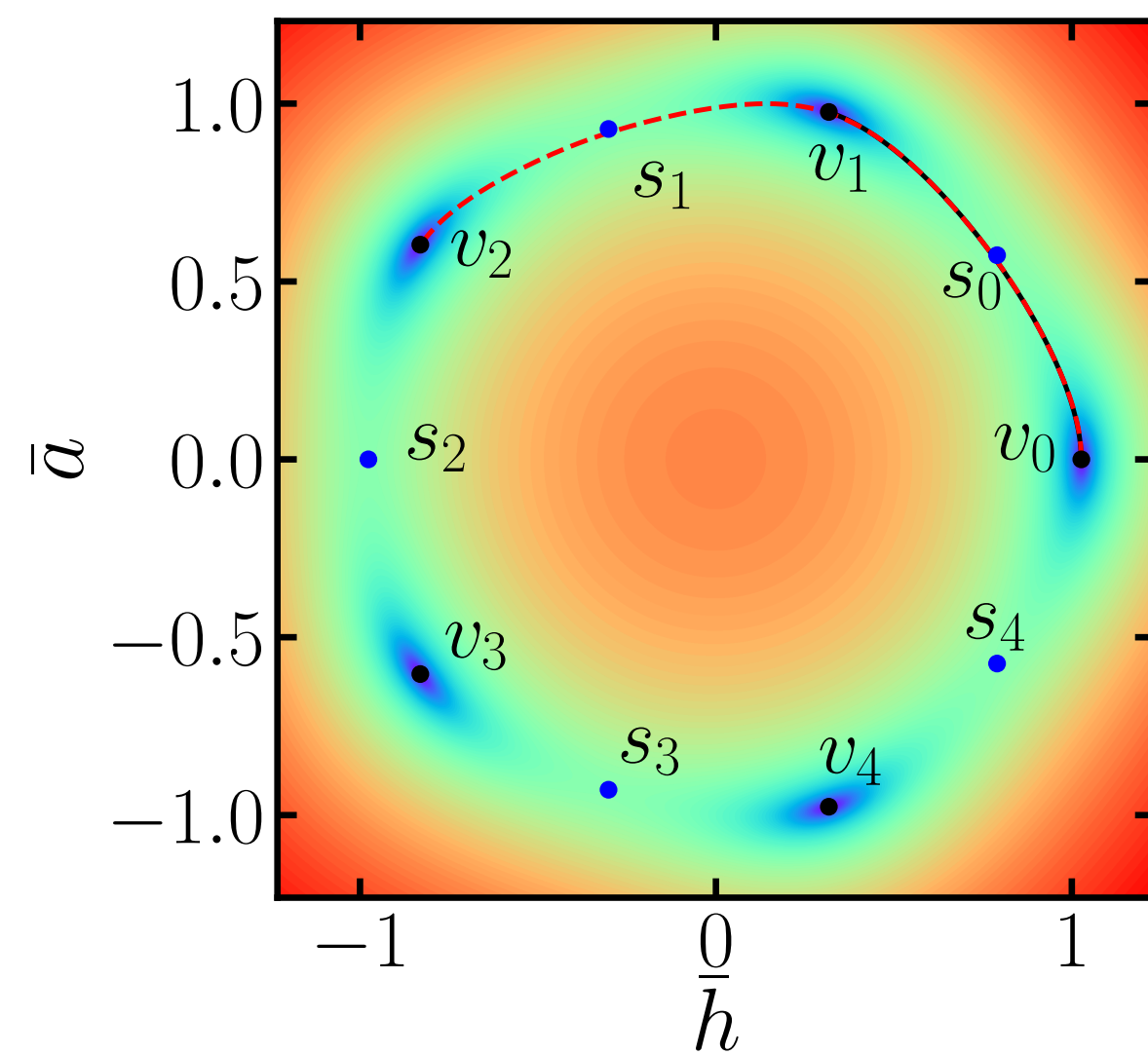


For  $\beta < 1/3$ ,  $\sigma_2 > 2\sigma_1$ , non-Adjacent DWs are unstable, decaying to two adjacent DWs

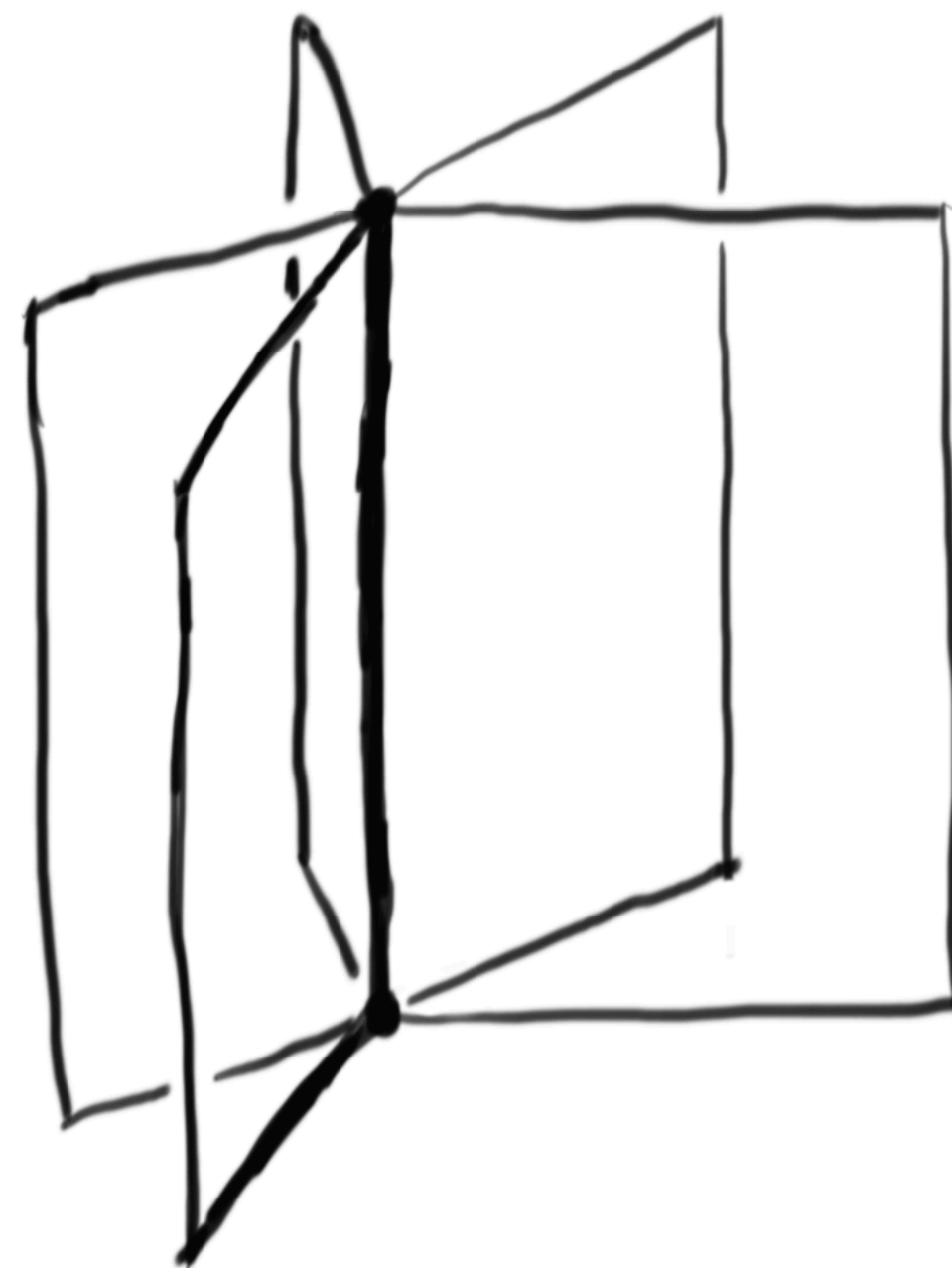
$$\boxed{v_0} \boxed{v_2} \Rightarrow \boxed{v_0} \boxed{v_1} \boxed{v_2} \Rightarrow \boxed{v_0} \boxed{v_1} + \boxed{v_1} \boxed{v_2}$$

# 更复杂的 $Z_N$ 畴壁 ( $N > 4$ )

$\phi^N (N > 4)$  不可重整



Approx  $\phi = |\phi| e^{i\theta}$   
 U(1)  
 $\downarrow \langle |\phi| \rangle \approx v$   
 $Z_N$   
 $\downarrow \langle \theta \rangle = 2\pi k/N$   
 1



String-bounded walls

Similar to axion domain walls, e.g.,  
 Hiramatsu, Kawasaki, Saikawa,  
 Sekiguchi, 1207.3166; 1412.0789

# $Z_N$ 畴壁与多标量场

比如  $Z_6$  对称性下的双标量场

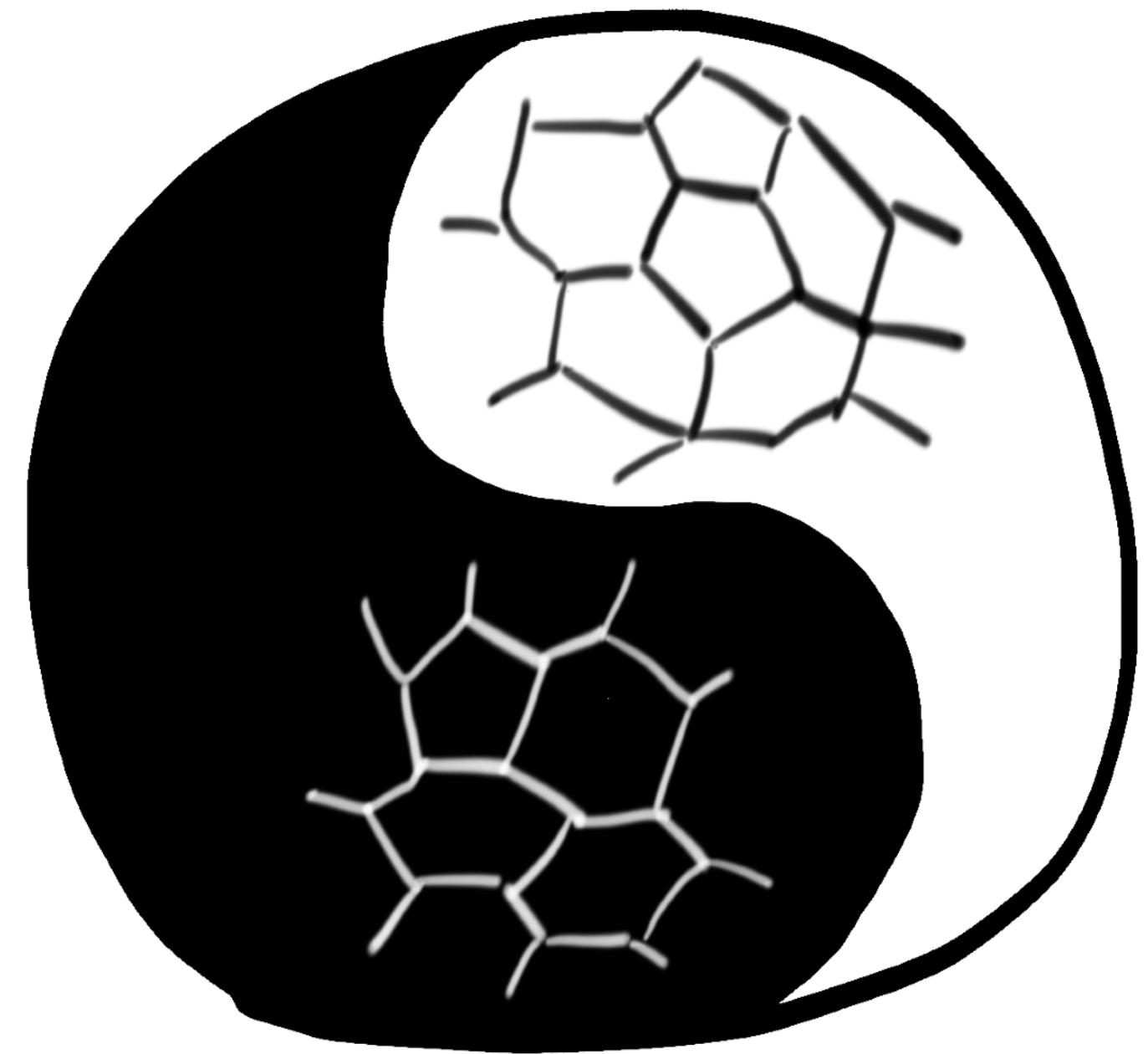
Scalar	$\phi$	$\xi$
$Z_6$ charge	1	3

$$V = -\mu^2 |\phi|^2 + \lambda_1 |\phi|^4 - \frac{1}{2} \mu_\xi^2 \xi^2 + \frac{1}{4} \lambda_\xi \xi^4 - \lambda_{\phi\xi} (\phi^3 + \phi^{*3}) \xi$$



$$\langle \xi \rangle = \pm \sqrt{\mu_\xi^2 / 2\lambda_\xi}$$

$$\langle \phi \rangle = \frac{\mu(\beta + \sqrt{1 + \beta^2})}{\sqrt{2\lambda_1}} e^{\pm i2\pi k/3}$$



Walls wrapped by walls

# Abel畴壁的分类

不完整的清单

吴永成, 谢柯盼, YLZ, 2205.11529

Potential forms		breaking chains	textures of domain walls	
single scalar	large $\phi^N$	$Z_N \rightarrow 1$	adj. walls	non-adj. walls ( $N \geq 4$ )
	small $\phi^N$	appr. $U(1) \rightarrow Z_N \rightarrow 1$	string-bounded adj. walls	
multiscalar ( $\phi, \xi$ with charges $q_\phi, q_\xi$ )	C1	appr. $U(1) \rightarrow Z_N \rightarrow 1$	string-bounded adj. walls	
	C2	$Z_N \rightarrow Z_{\gcd(q_\xi, N)} \rightarrow 1$	walls wrapped by walls	
	C3	$Z_N \rightarrow \begin{cases} Z_{\gcd(q_\xi, N)} \\ Z_{\gcd(q_\phi, N)} \end{cases}$	walls blind among diff. types	

(gcd: 最大公约数)

C1)  $q_\phi$  和  $q_\xi$  均与  $N$  互质, i.e.,  $\gcd(q_\xi, N) = \gcd(q_\phi, N) = 1$ .

C2)  $q_\xi$  与  $N$  有非平庸公约数,  $q_\phi$  仍与  $N$  互质, i.e.,  $\gcd(q_\xi, N) > 1$  and  $\gcd(q_\phi, N) = 1$ .

C3)  $q_\phi$  和  $q_\xi$  都与  $N$  有非平庸的公约数, i.e.,  $\gcd(q_\phi, N), \gcd(q_\xi, N) > 1$ .



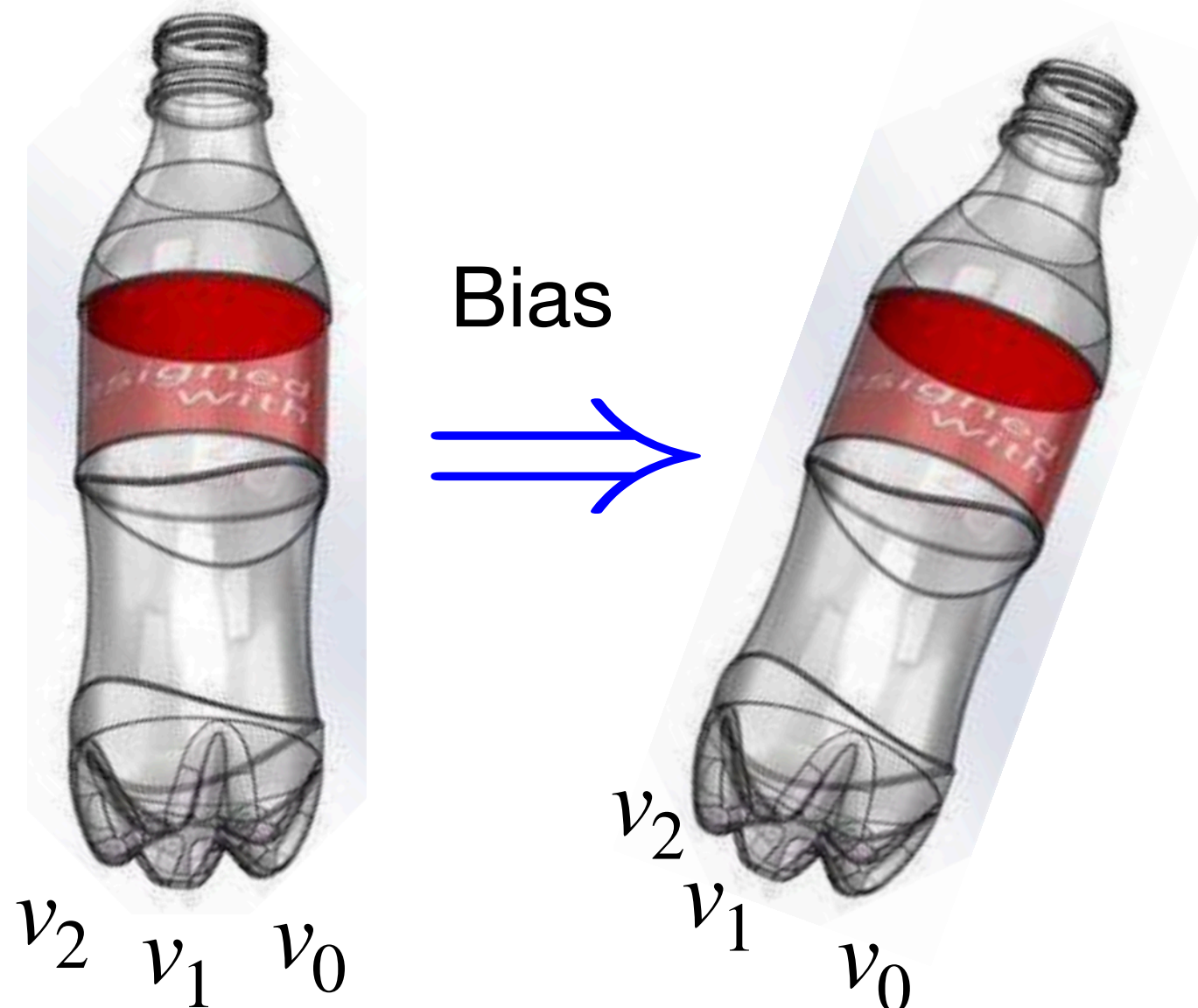
# Bias term 与引力波：以 $Z_3$ 为例

GW spectrum with broken power laws based on Saikawa [1703.02576]

$$\delta V = \frac{2e^{i\alpha}}{3\sqrt{3}}\epsilon\phi\left(\frac{1}{4}\phi^3 - v_0^3\right) + \text{h.c.}$$

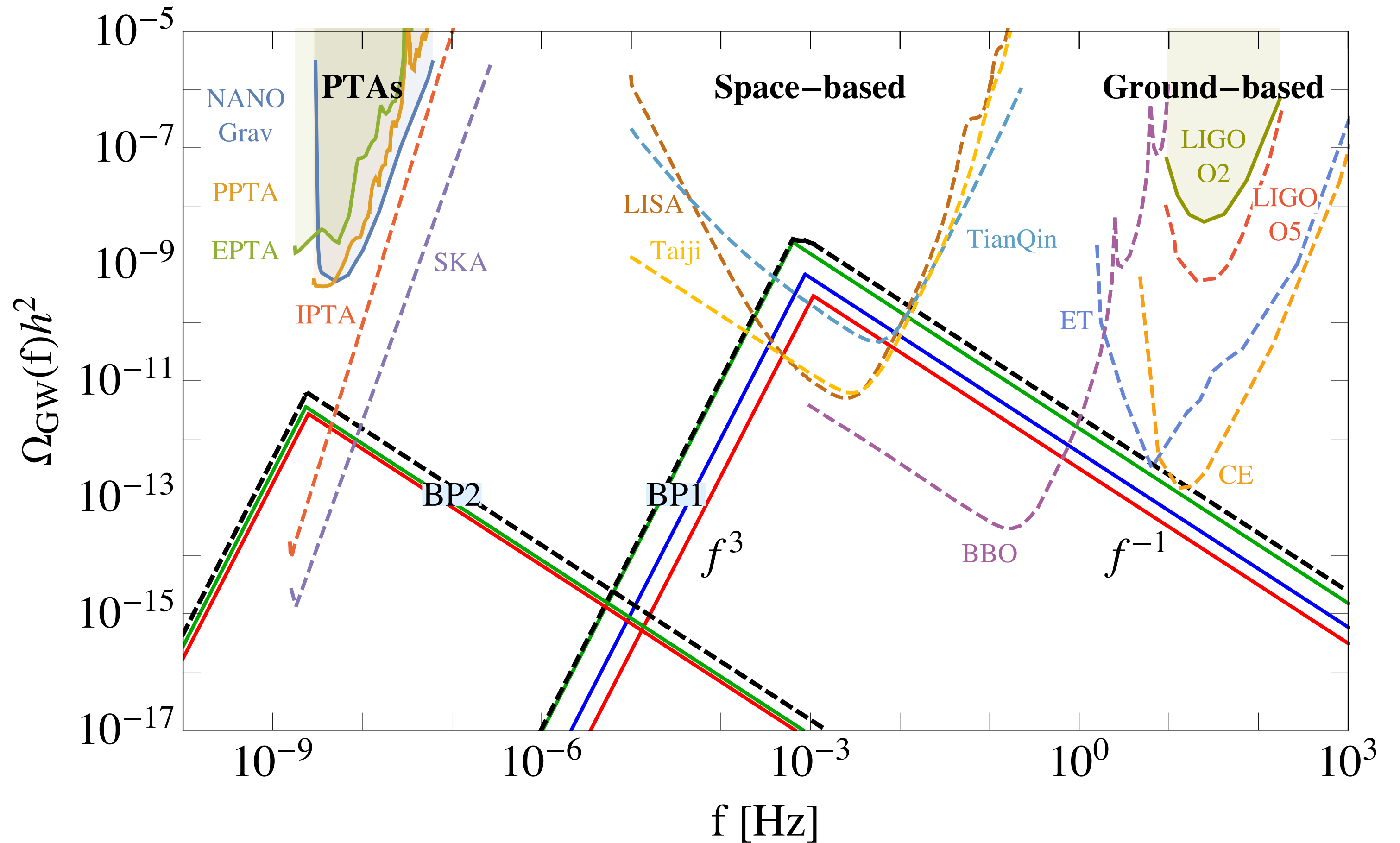
$$(V_{\text{bias}})_{10} = V|_{v_1} - V|_{v_0} = \epsilon v_0^4 \cos\left(\alpha + \frac{\pi}{6}\right)$$

$$(V_{\text{bias}})_{20} = V|_{v_2} - V|_{v_0} = \epsilon v_0^4 \cos\left(\alpha - \frac{\pi}{6}\right)$$



简并真空

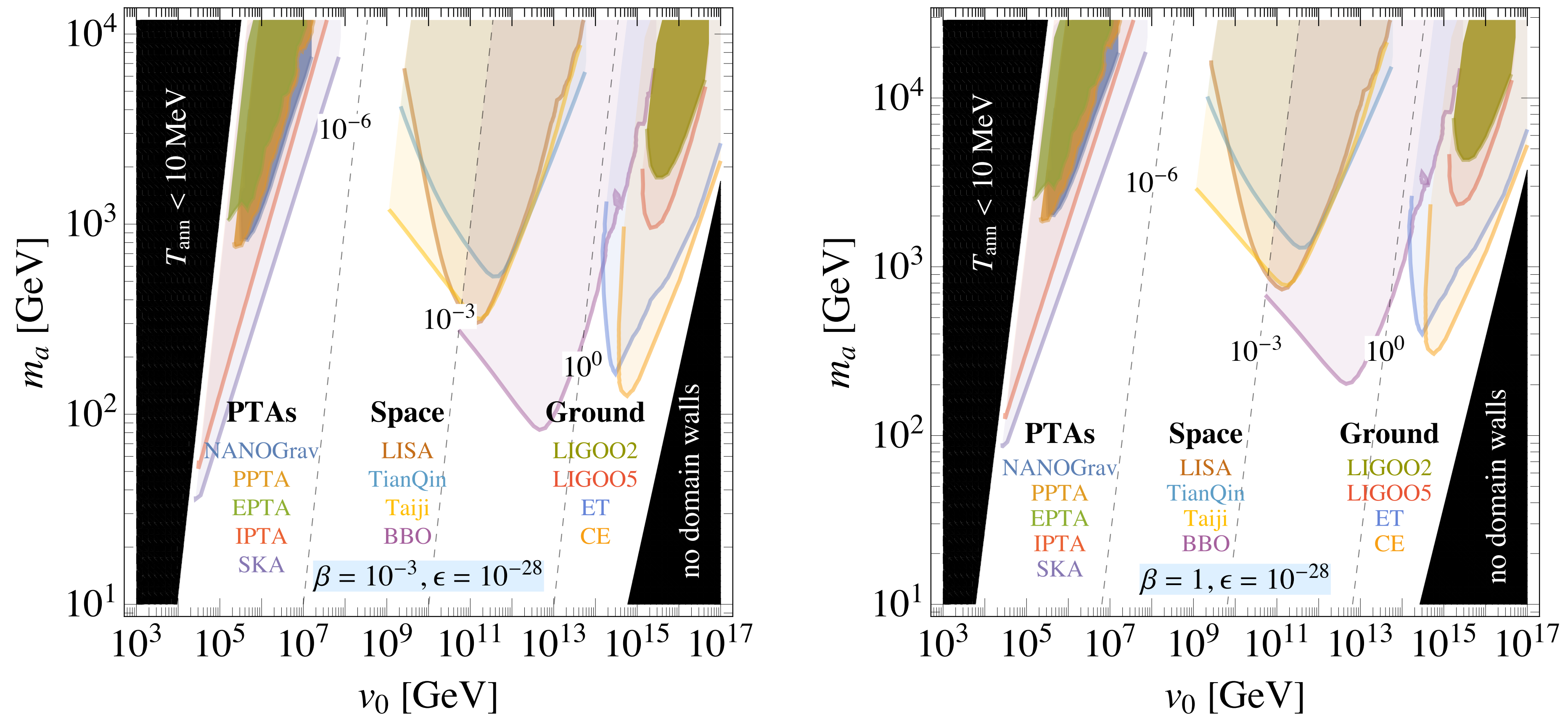
简并真空劈裂  
为三个“能级”



BP1 :  $v_0 = 10^{11}$  GeV,  $m_a = 2$  TeV,  $\alpha = \frac{2\pi}{9}$ ;  
 BP2 :  $v_0 = 10^5$  GeV,  $m_a = 500$  GeV,  $\alpha = \frac{\pi}{27}$ .

吴永成, 谢柯盼,  
YLZ, 2204.04374

# $Z_N$ 畴壁在引力波实验中的可检验性



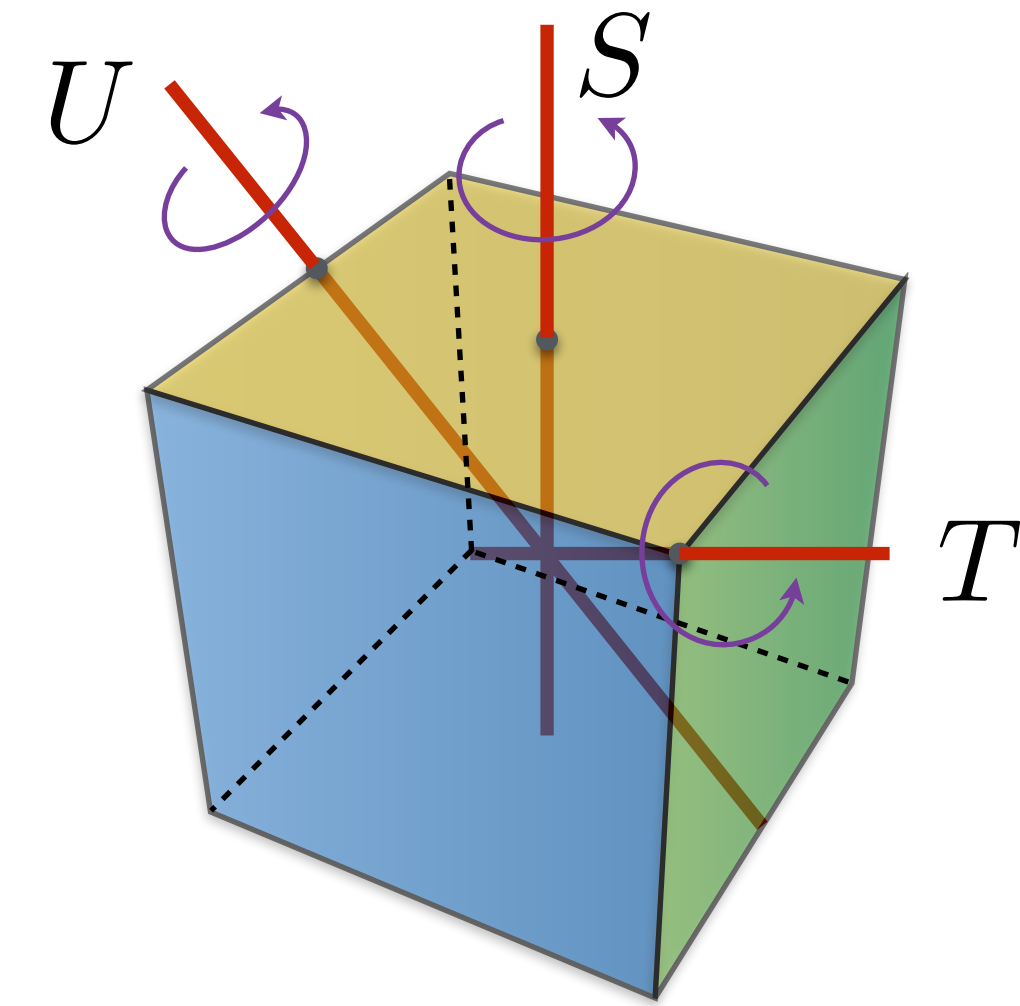
- 考虑到  $Z_3$  畴壁与  $Z_2$  畴壁动力学的不同，我们预期可能存在一个不同的引力波频谱
- 一个定量的引力波频谱需要做格点模拟，目前还没有这方面的结果

# 非Abel畴壁

- 对称性：假设为立方体群  $S_4$ （也是4个客体的置换群）

三维不可约表示  $\mathbf{3}'$  下的表示矩阵

$$T = \begin{pmatrix} 0 & 0 & 1 \\ 1 & 0 & 0 \\ 0 & 1 & 0 \end{pmatrix} \quad S = \begin{pmatrix} 1 & 0 & 0 \\ 0 & -1 & 0 \\ 0 & 0 & -1 \end{pmatrix} \quad U = \begin{pmatrix} -1 & 0 & 0 \\ 0 & 0 & -1 \\ 0 & -1 & 0 \end{pmatrix}$$



- 可重整的势能

$$V(\phi) = -\frac{\mu^2}{2}I_1 + \frac{g_1}{4}I_1^2 + \frac{g_2}{2}I_2 \quad g_1 > 0 \quad g_2 > -4g_1$$

$$I_1 = \phi_1^2 + \phi_2^2 + \phi_3^2$$

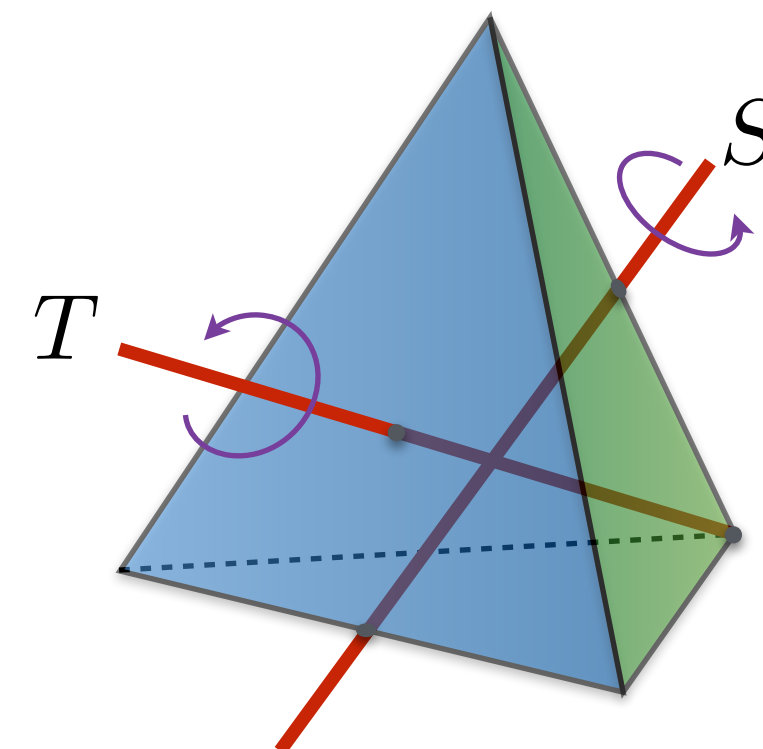
$$I_2 = \phi_1^2\phi_2^2 + \phi_2^2\phi_3^2 + \phi_3^2\phi_1^2$$

也适用于  $A_4 \times Z_2^P$  ( $\phi \leftrightarrow -\phi$ )

$$T^3 = S^2 = (ST)^3 = \mathbf{1}$$

$$U^2 = (SU)^2 = (TU)^2 = (STU)^4 = \mathbf{1}$$

不可约表示:  $\mathbf{1}, \mathbf{1}', \mathbf{2}, \mathbf{3}, \mathbf{3}'$



# 非Abel畴壁

- $S_4$  的真空结构

$g_2 > 0$

保留  $Z_2$  的剩余对称性

$$v_m \in \left\{ \begin{pmatrix} 1 \\ 0 \\ 0 \end{pmatrix}, \begin{pmatrix} 0 \\ 1 \\ 0 \end{pmatrix}, \begin{pmatrix} 0 \\ 0 \\ 1 \end{pmatrix}, \begin{pmatrix} -1 \\ 0 \\ 0 \end{pmatrix}, \begin{pmatrix} 0 \\ -1 \\ 0 \end{pmatrix}, \begin{pmatrix} 0 \\ 0 \\ -1 \end{pmatrix} \right\} v$$

$m = 1, 2, 3, 4, 5, 6$

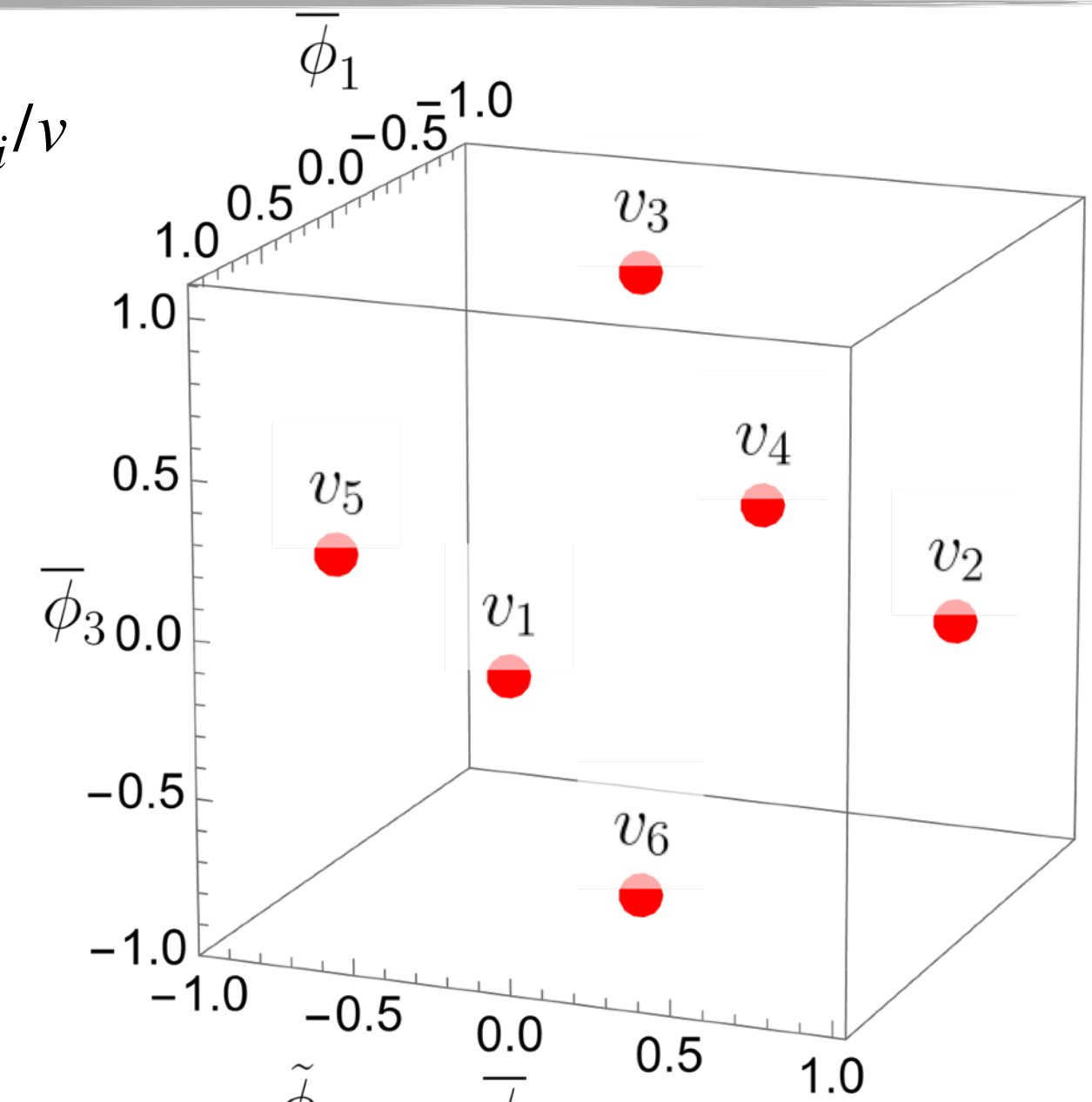
$g_2 < 0$

保留  $Z_3$  的剩余对称性

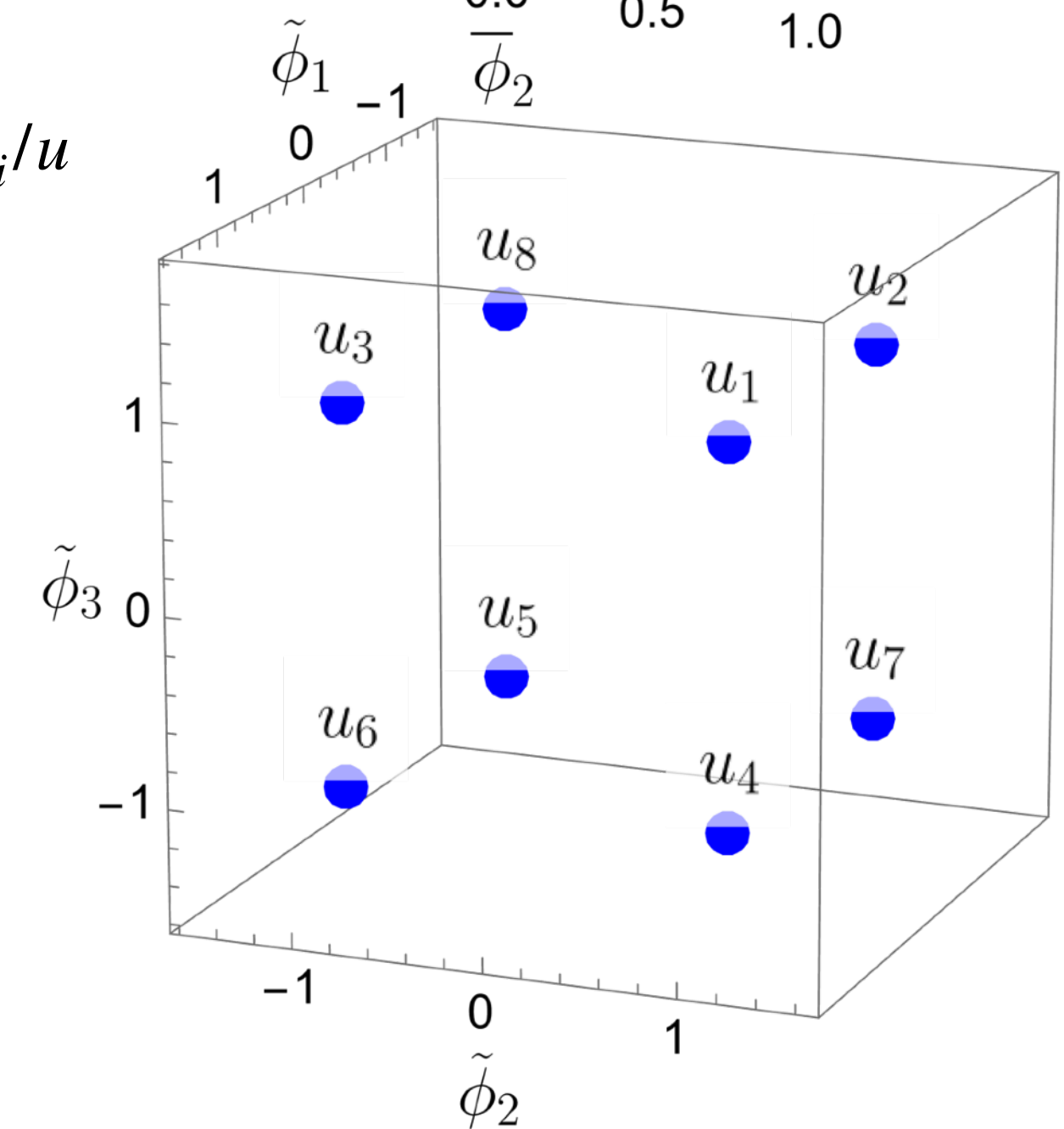
$$u_n = \left\{ \begin{pmatrix} 1 \\ 1 \\ 1 \end{pmatrix}, \begin{pmatrix} -1 \\ 1 \\ 1 \end{pmatrix}, \begin{pmatrix} 1 \\ -1 \\ 1 \end{pmatrix}, \begin{pmatrix} 1 \\ 1 \\ -1 \end{pmatrix}, \begin{pmatrix} -1 \\ -1 \\ 1 \end{pmatrix}, \begin{pmatrix} 1 \\ -1 \\ -1 \end{pmatrix}, \begin{pmatrix} -1 \\ 1 \\ -1 \end{pmatrix}, \begin{pmatrix} -1 \\ -1 \\ -1 \end{pmatrix} \right\} u$$

$n = 1, 2, 3, 4, 5, 6, 7, 8$

$$\bar{\phi}_i = \phi_i/v$$

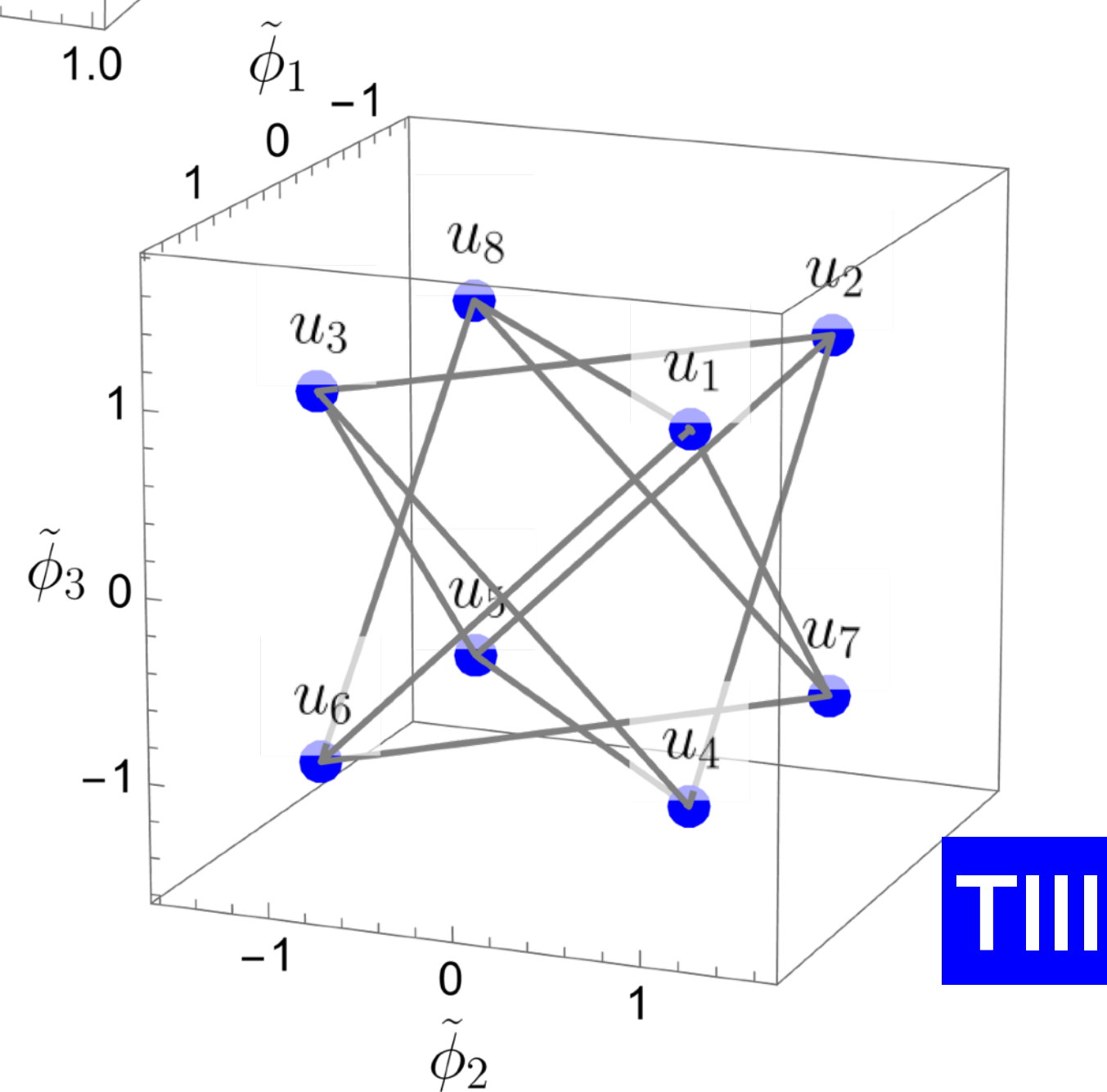
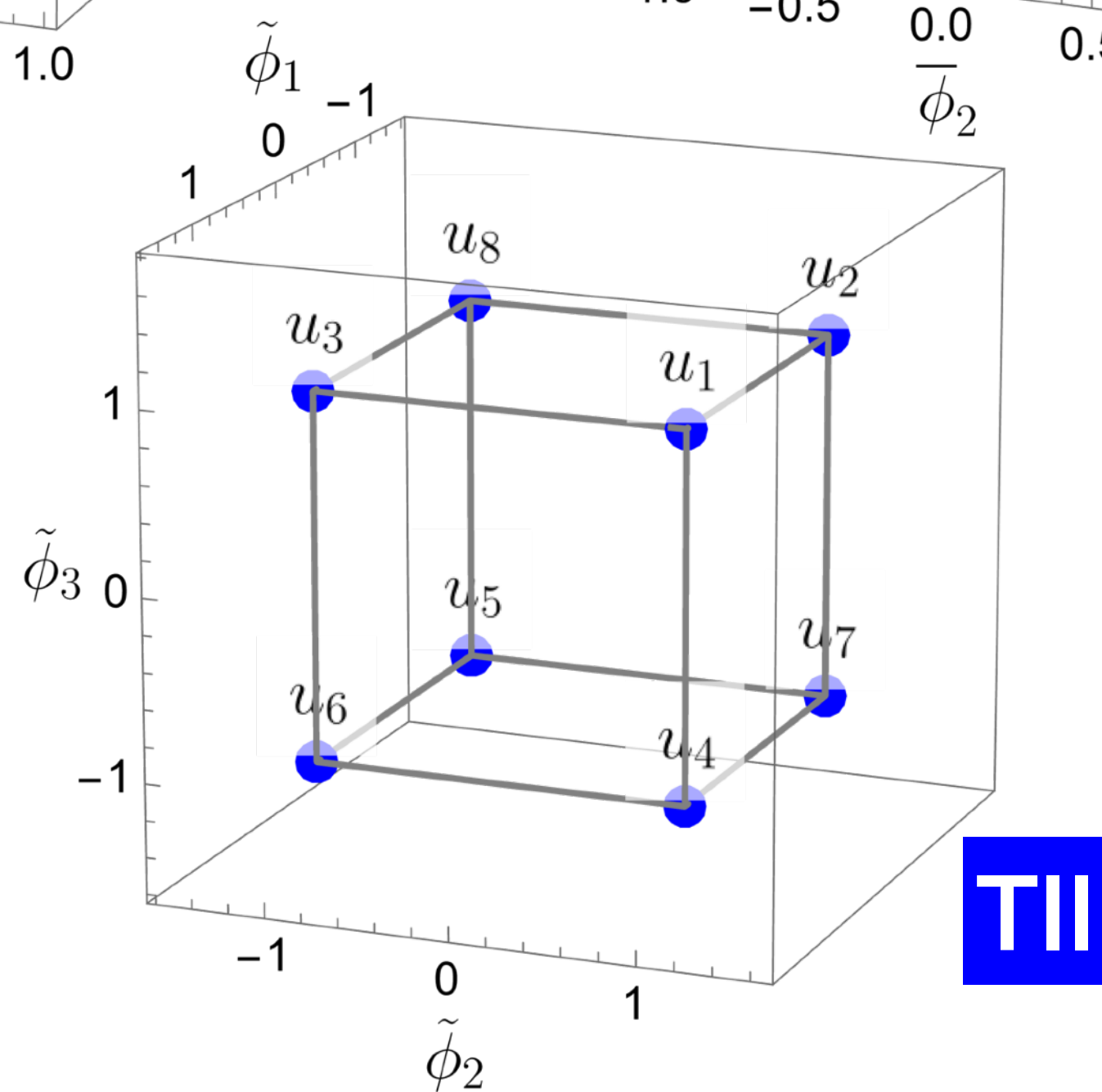
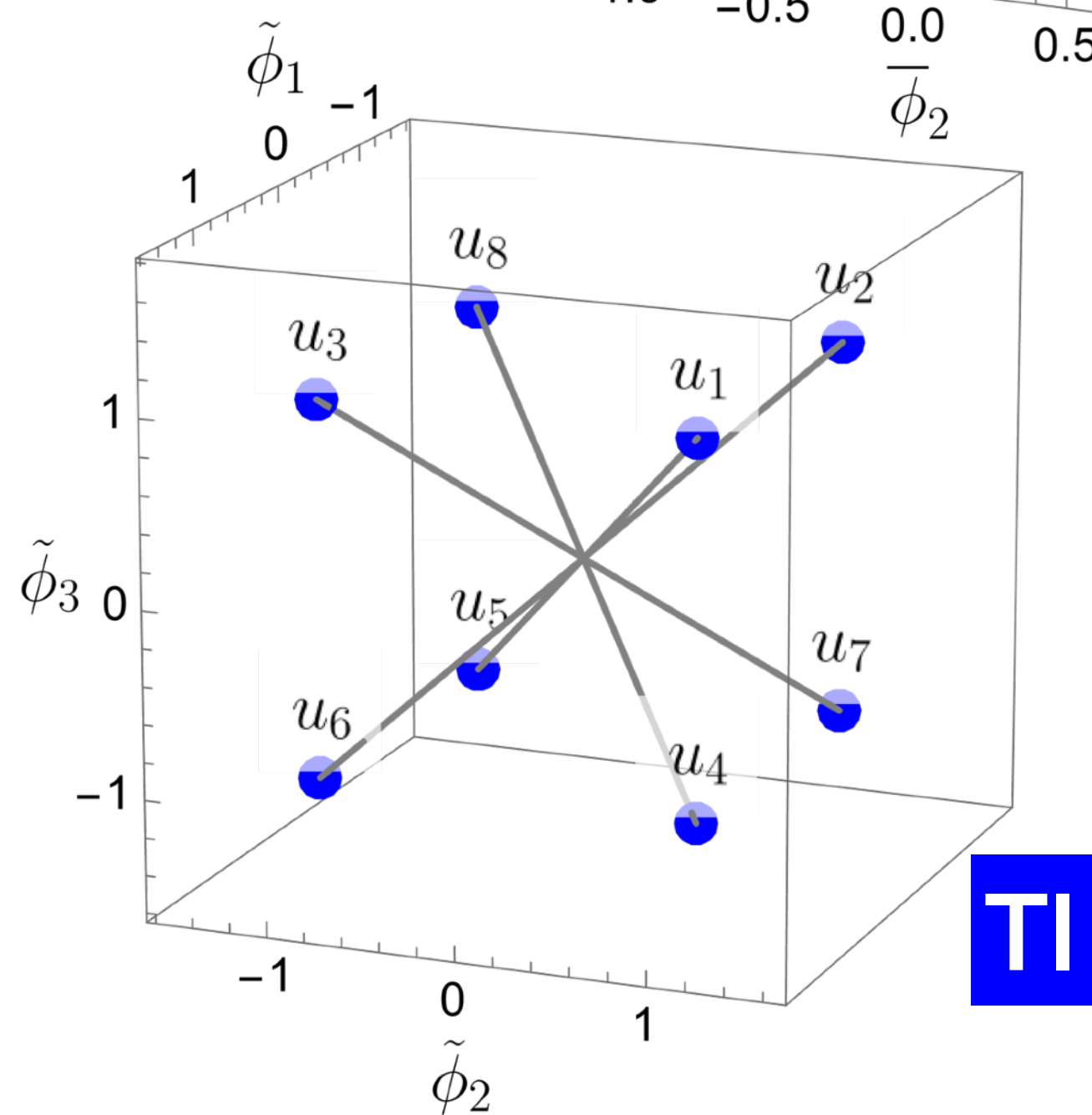
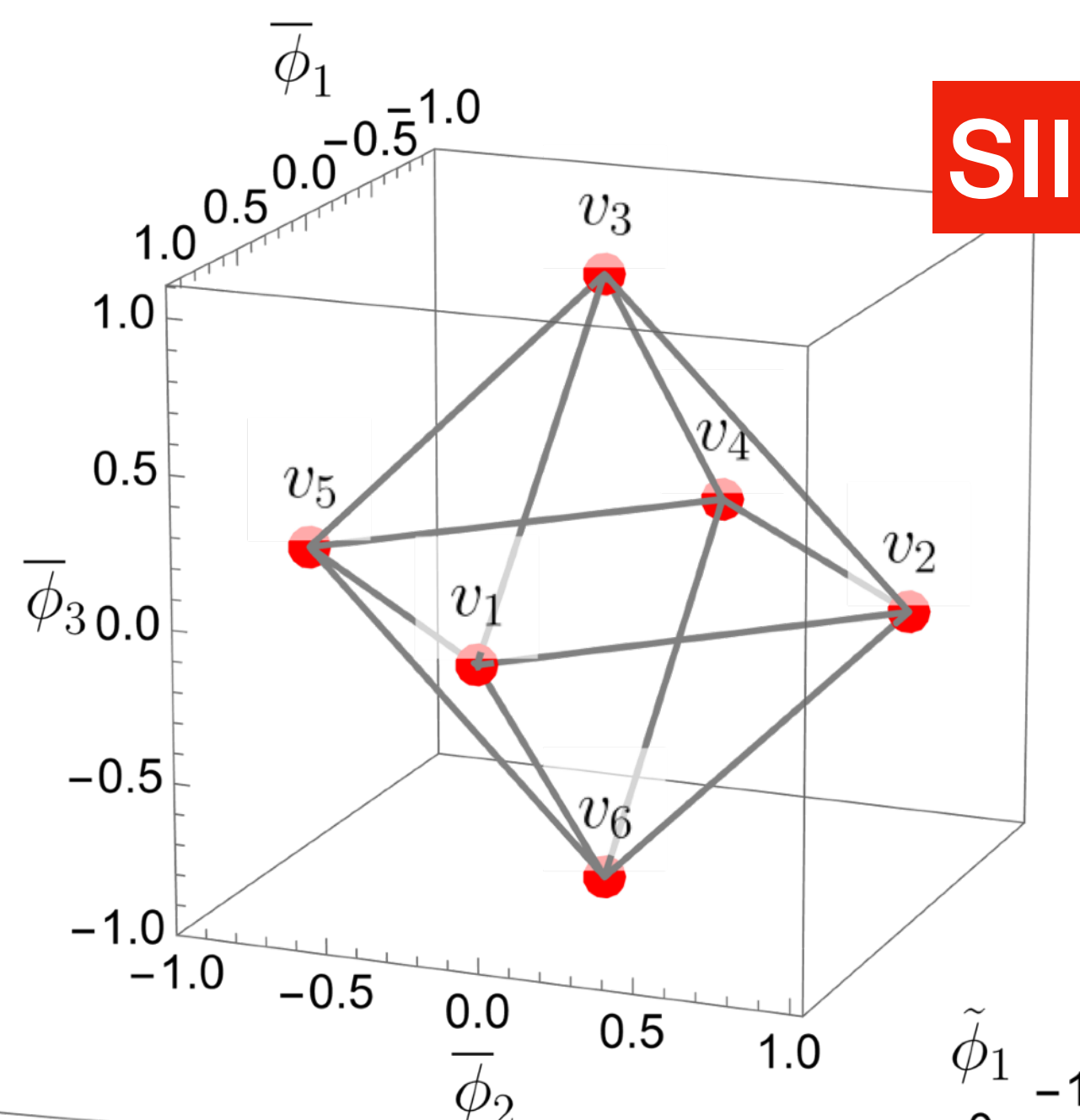
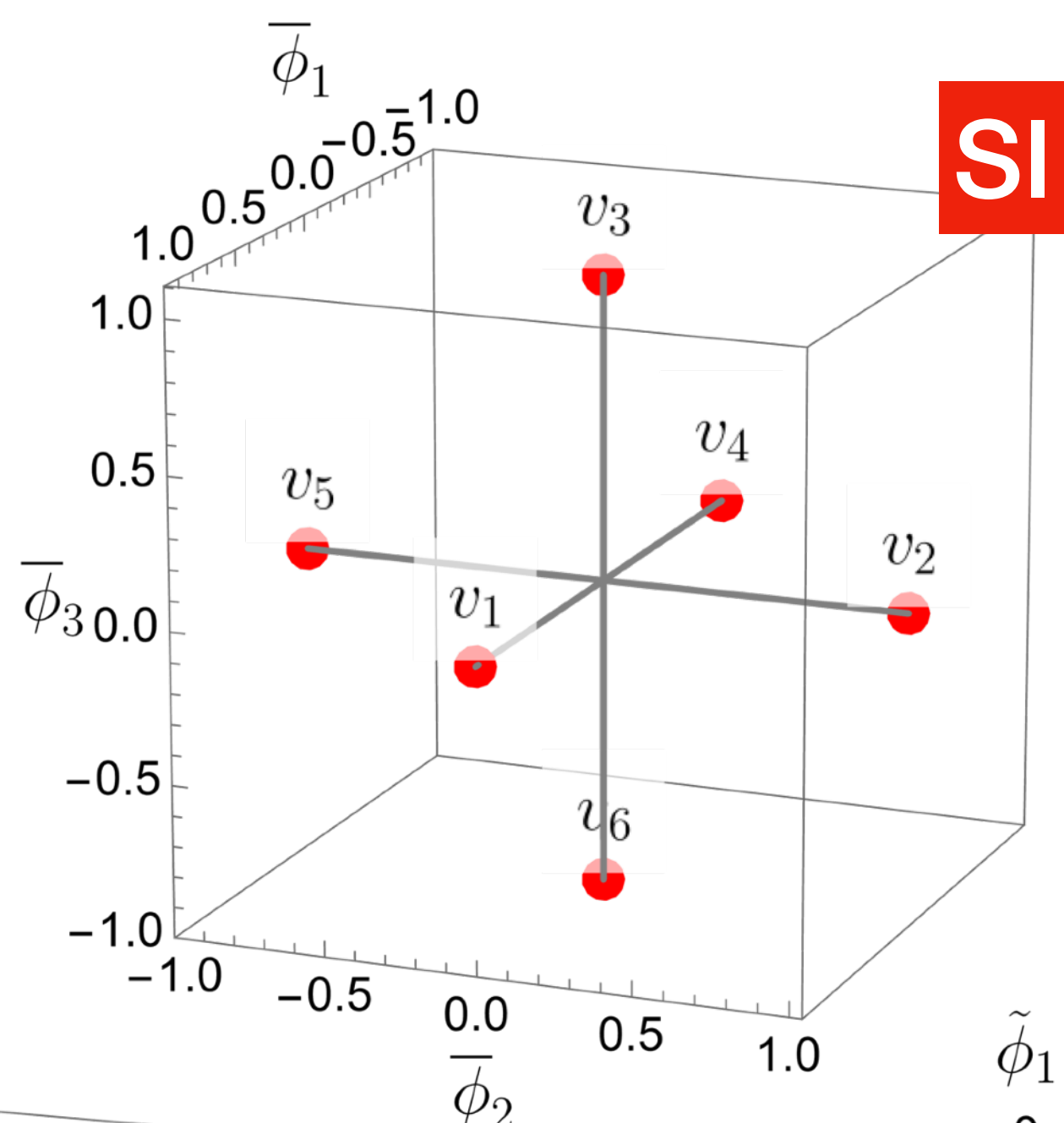


$$\tilde{\phi}_i = \phi_i/u$$



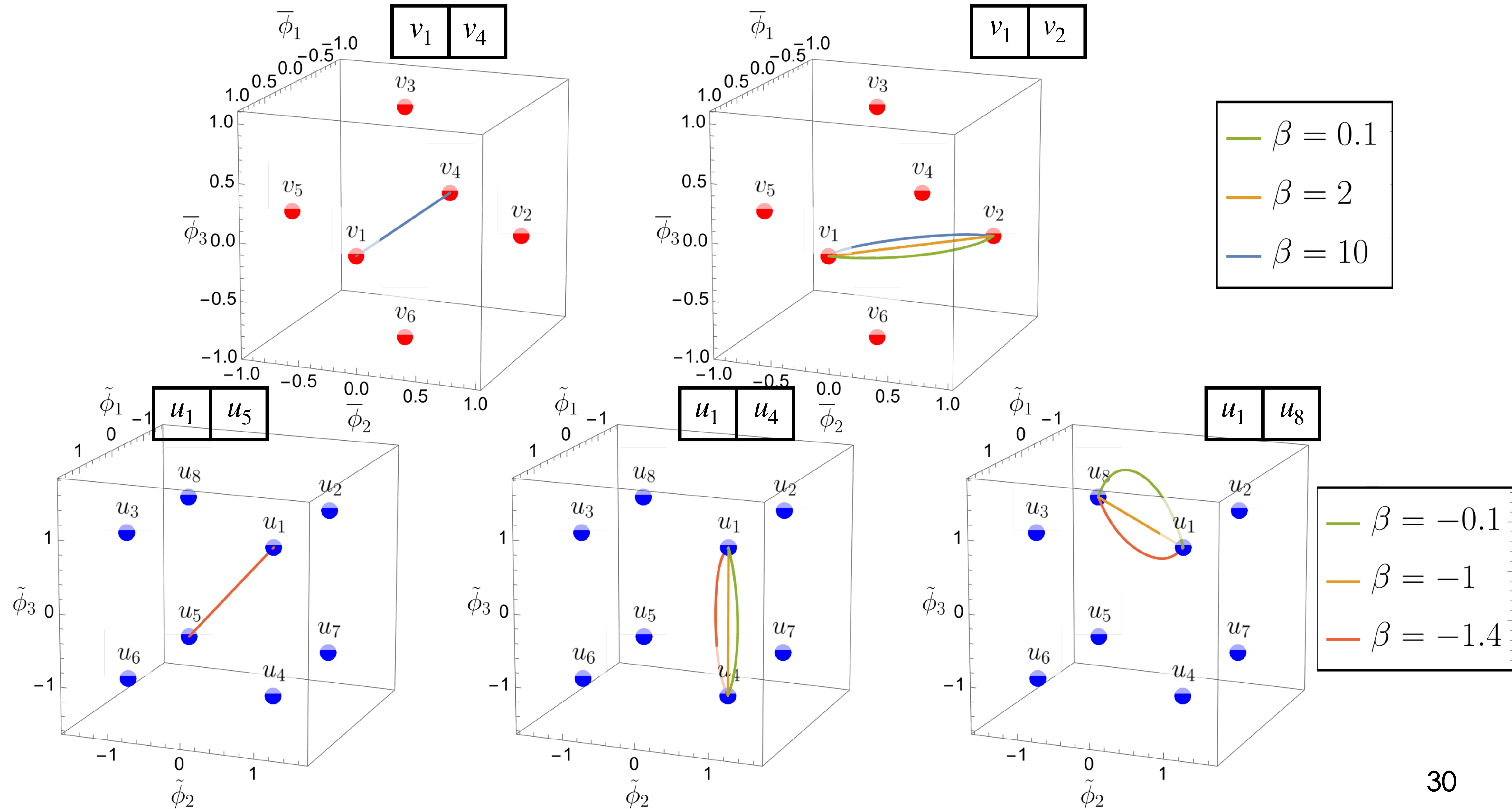
# $S_4$ 破缺得到的所有畴壁

⇒ 五大类



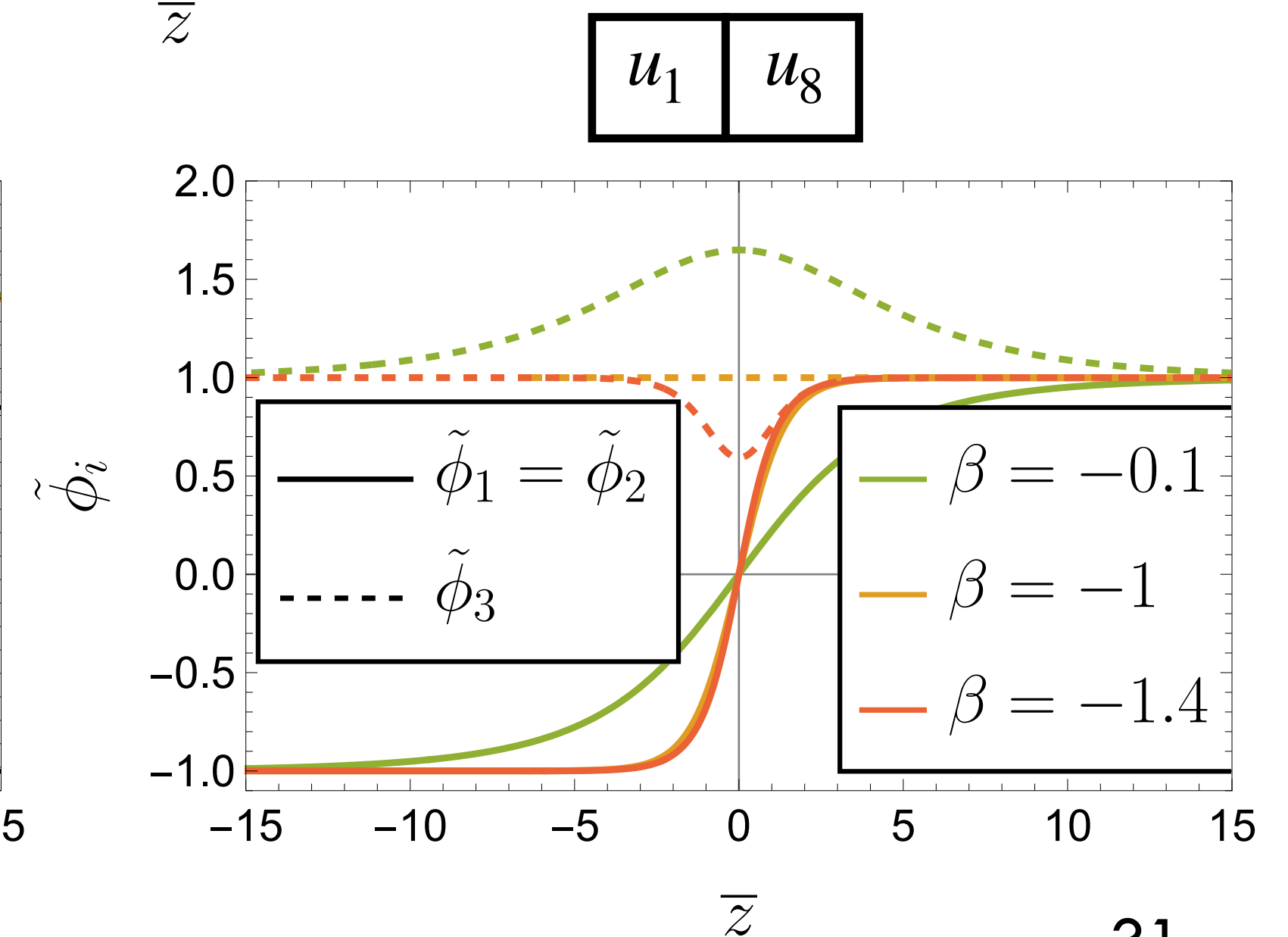
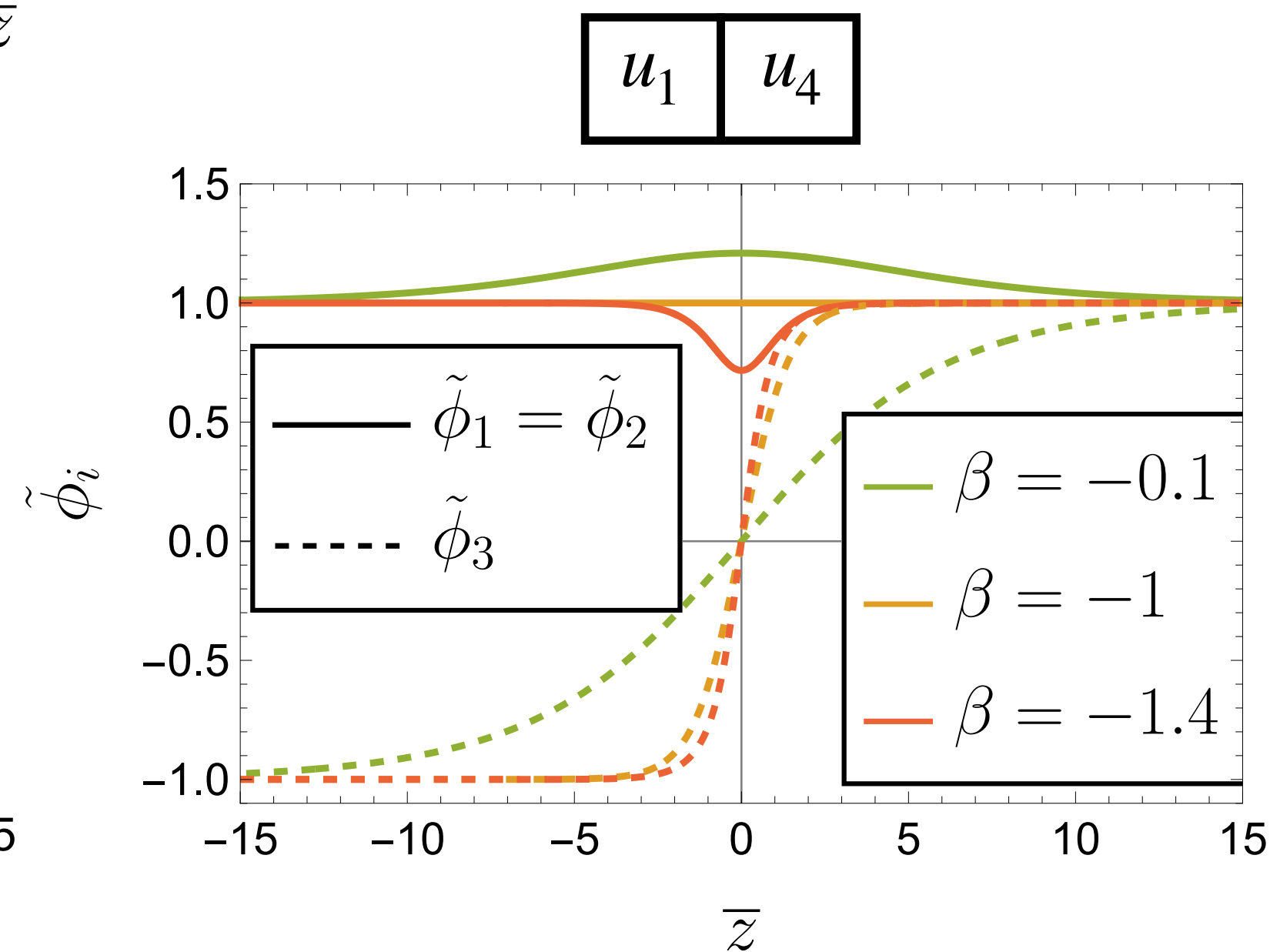
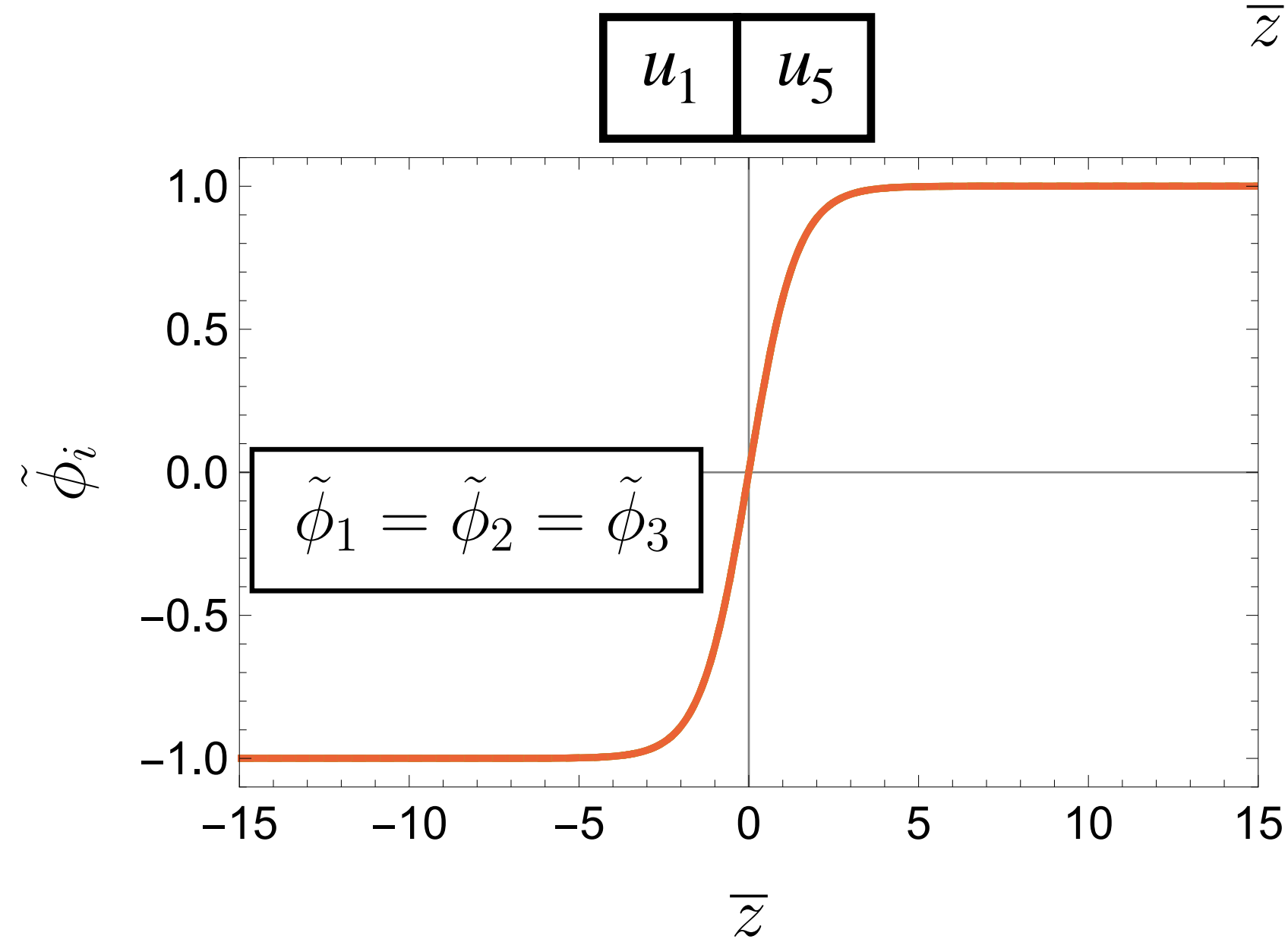
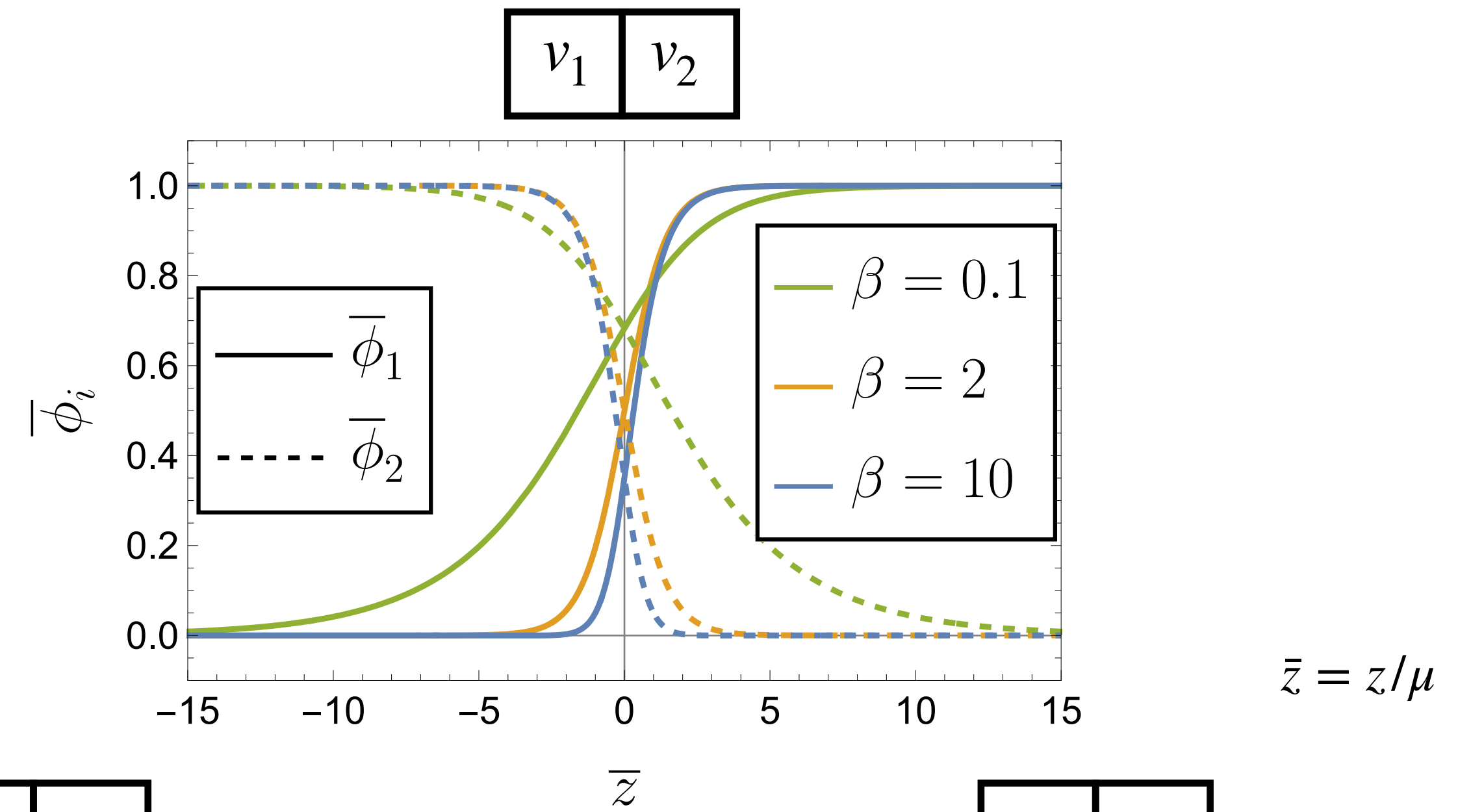
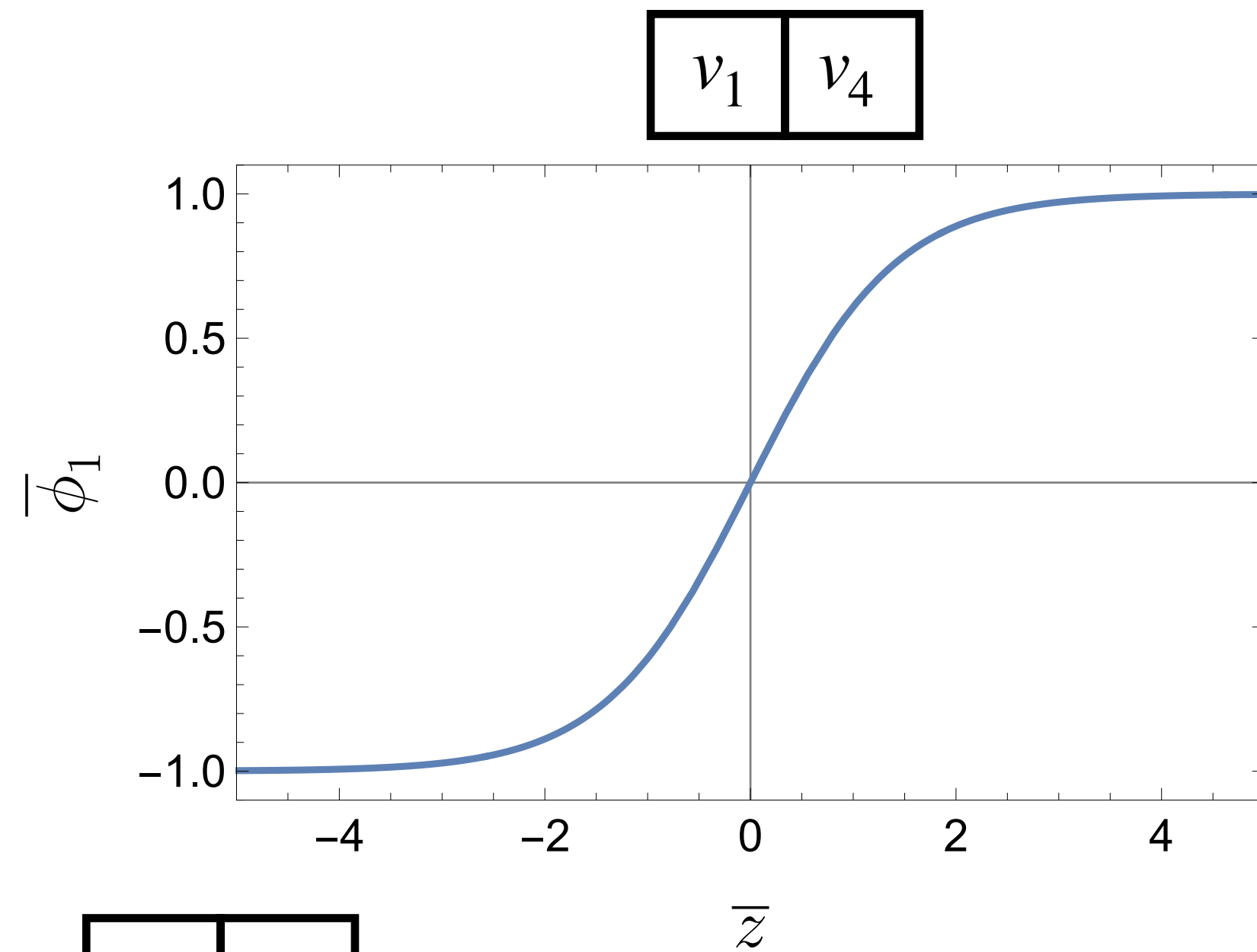
# 畴壁的解

付博文, S. King, L. Marsili, S. Pascoli, J. Turner, YLZ, 2409. 2409.16359

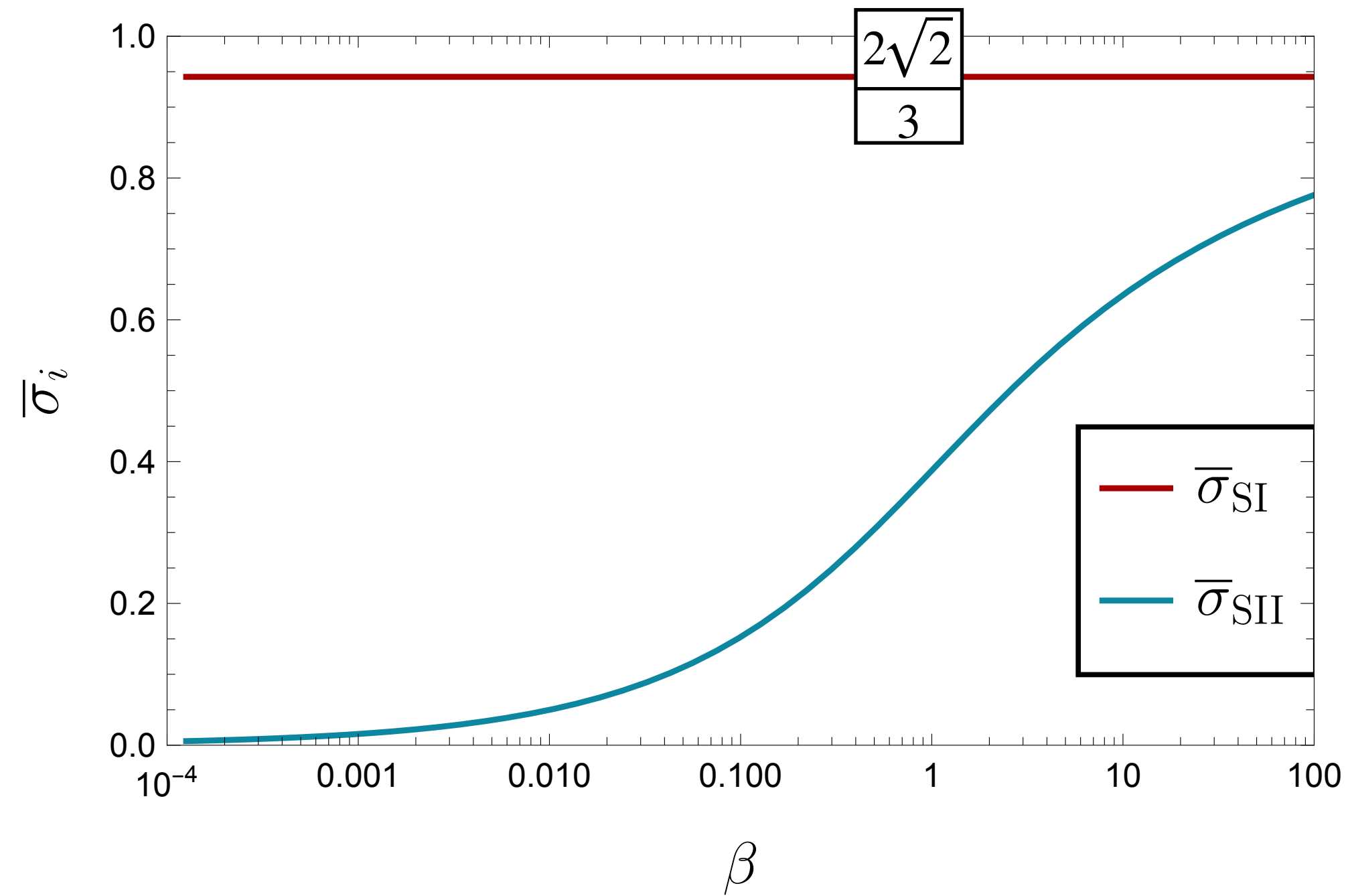


# 畴壁的解

付博文, S. King, L. Marsili, S. Pascoli, J. Turner, YLZ, 2409. 2409.16359

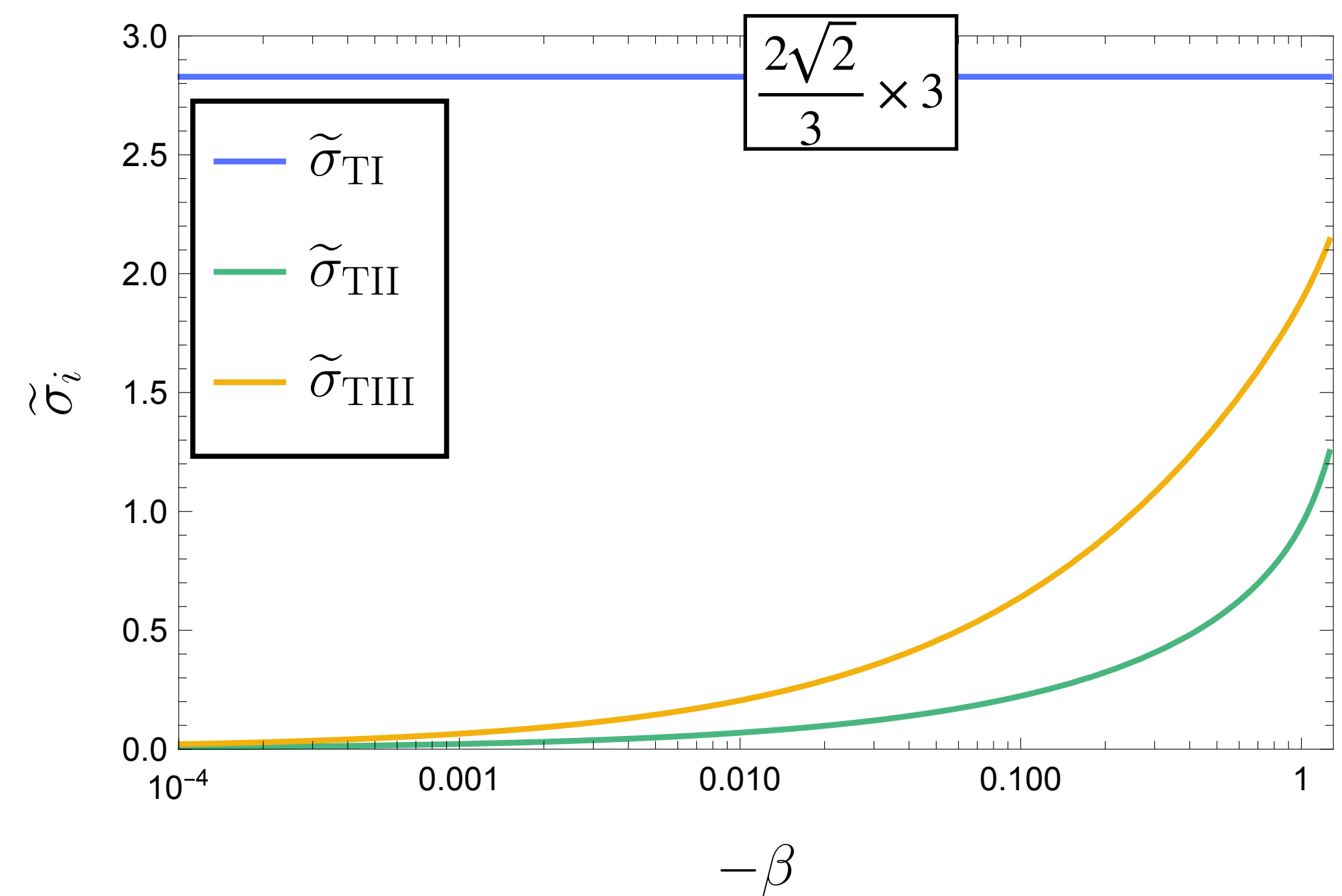


$$\bar{\sigma}_i = \frac{\sigma_i}{\mu v^2}$$



$$\bar{\sigma}_{\text{SII}}(\beta) \approx \frac{2\sqrt{2}}{3} \frac{1}{1 + 1.875\beta^{-1/2}} \left[ 1 + 0.5 \frac{\beta^{1/2}}{1 + 2\beta} \right]$$

$$\tilde{\sigma}_i = \frac{\sigma_i}{\mu u^2}$$

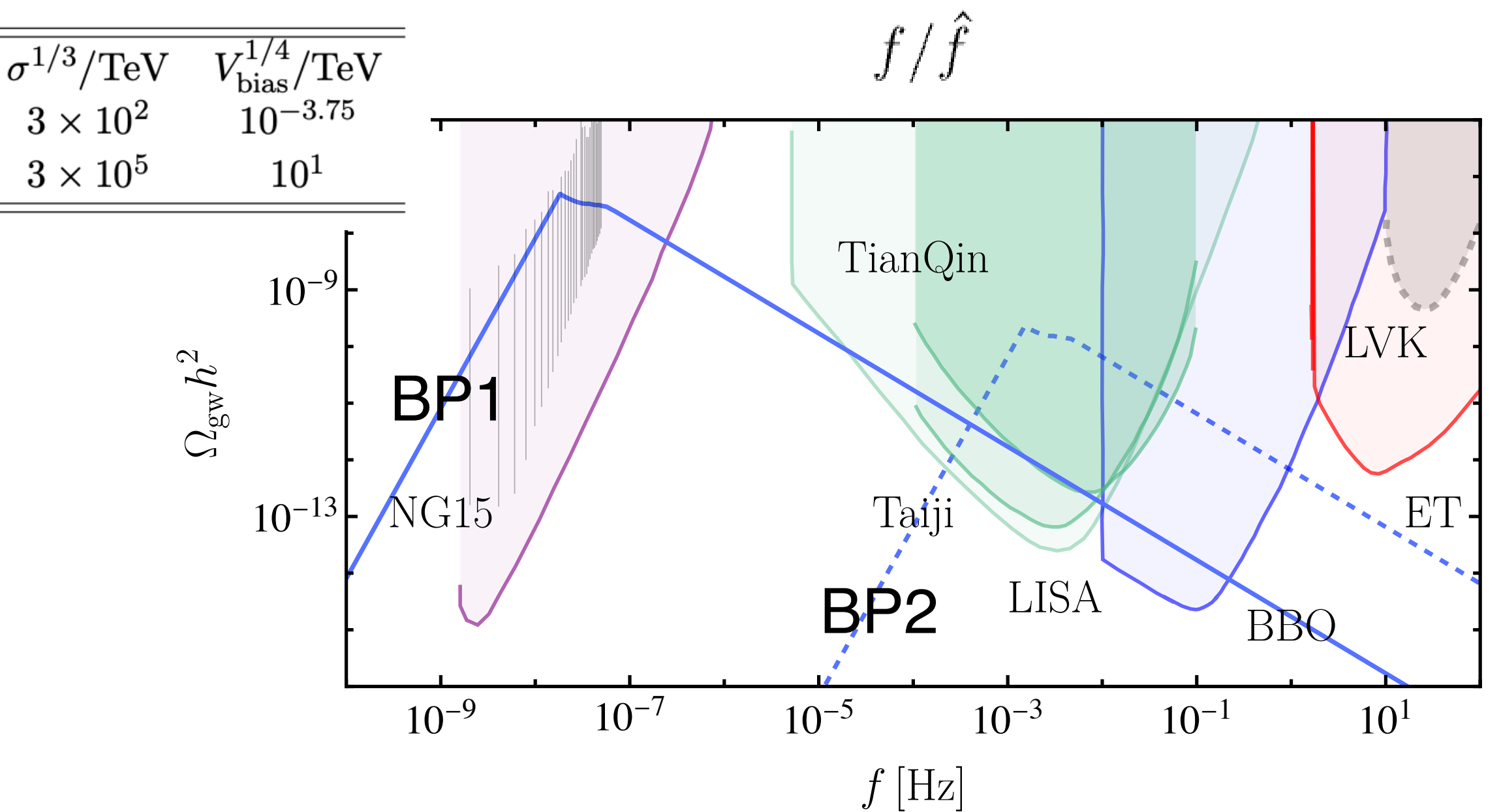
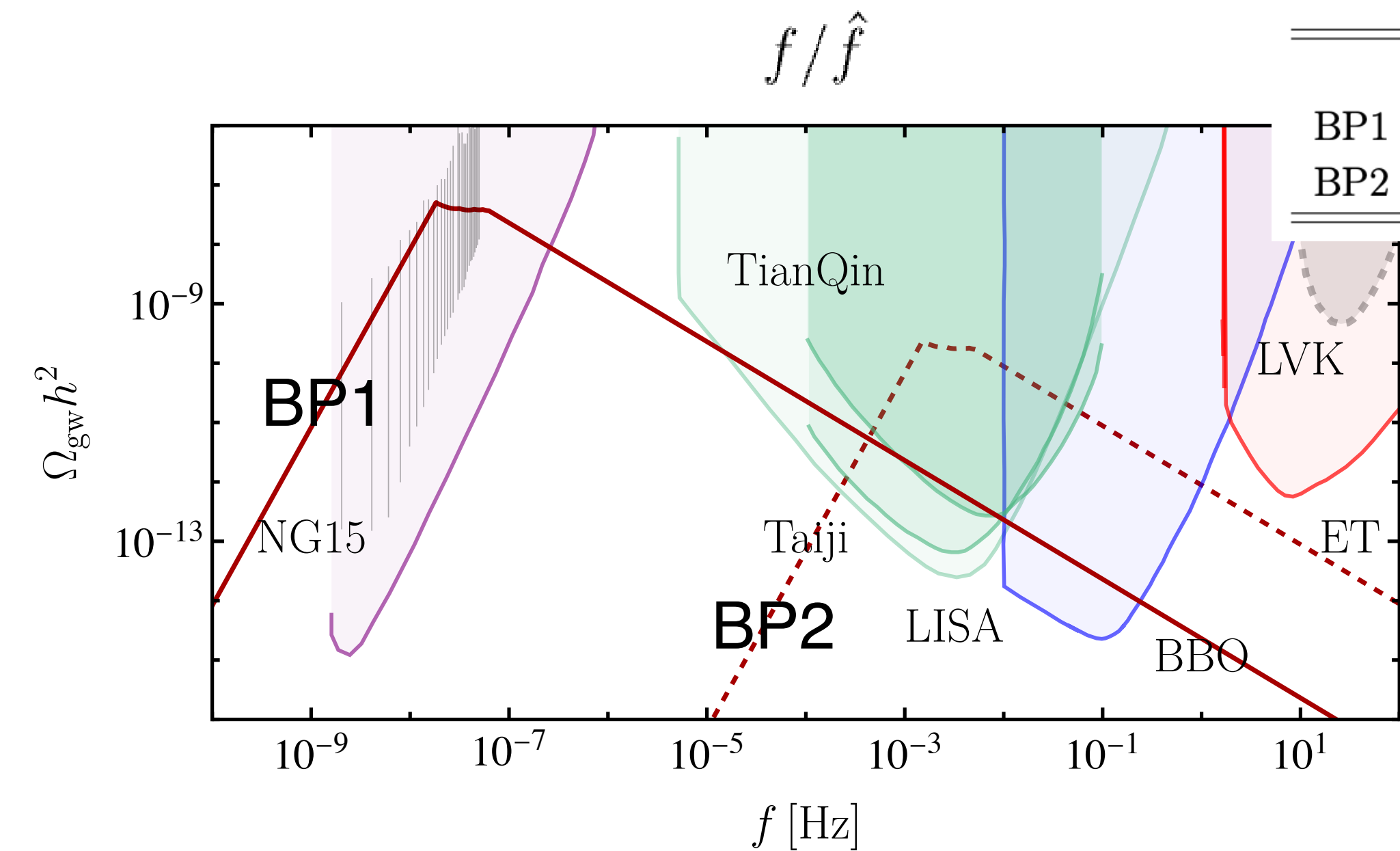
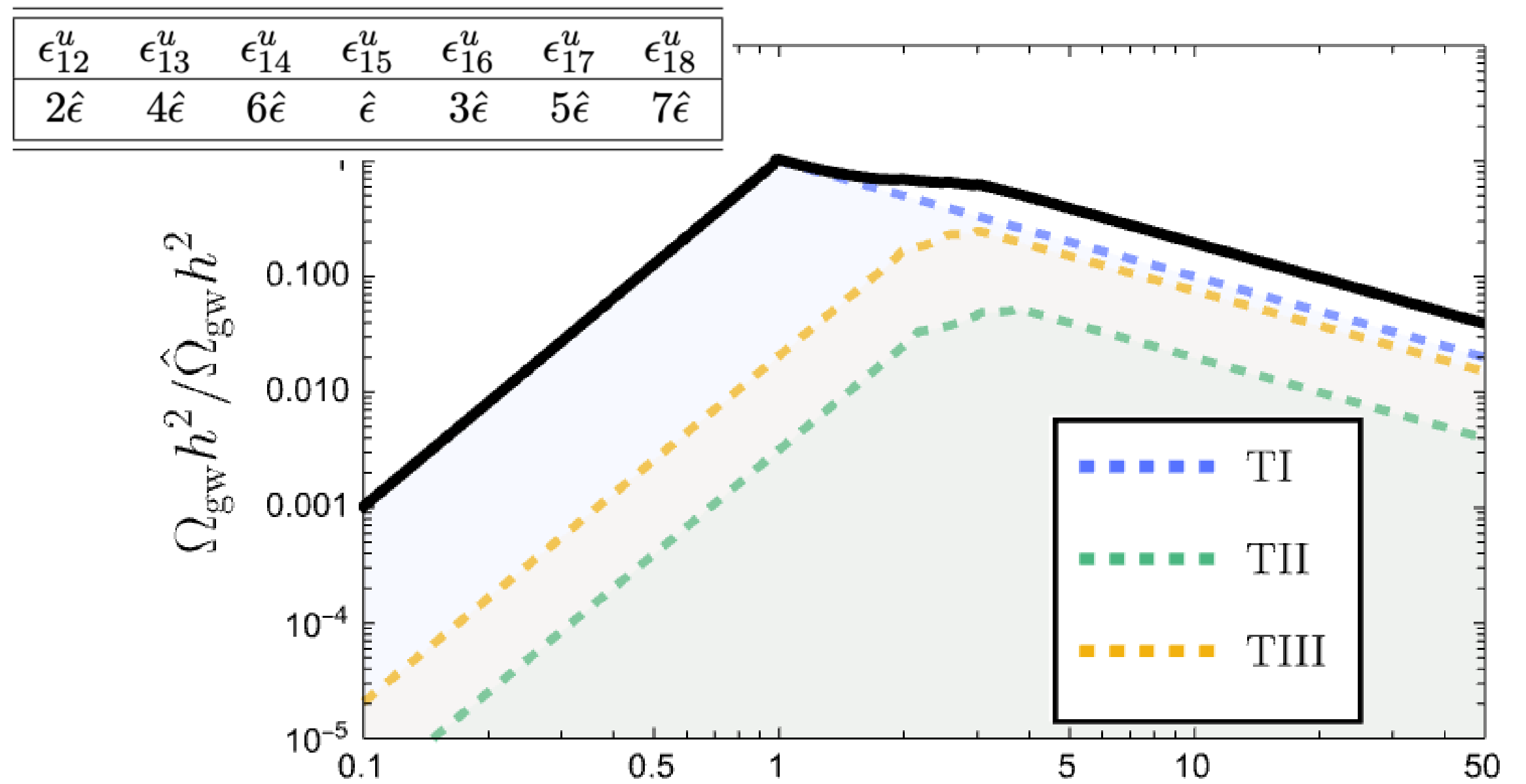
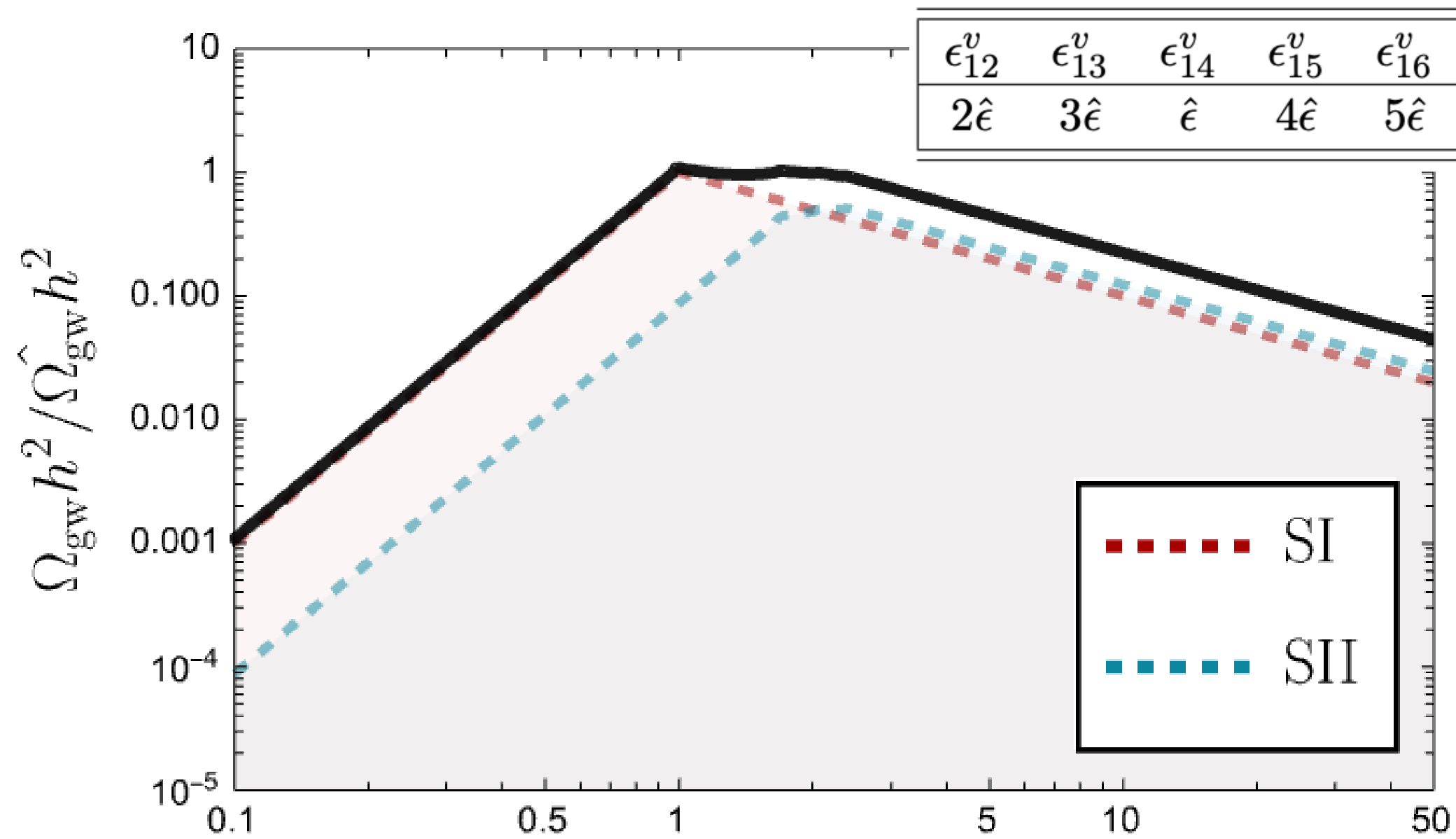


$$\tilde{\sigma}_{\text{TII}}(\beta) = \frac{0.77(-\beta)^{0.5}}{(1.5 + \beta)^{0.25}} \quad \tilde{\sigma}_{\text{TIII}}(\beta) = \frac{2.06(-\beta)^{0.5}}{1 + 0.09(-\beta)^{0.6}}$$



# 引力波频谱 (for illustration)

bias 导致的能级劈裂, 不同真空空间的能量密度的差异为  $V_{\text{bias}}^{ij} = \epsilon_{ij} v^4$



$A_4$  下的一个轻子味混合模型

$$-\mathcal{L}_{l,\nu} \supset y_D \bar{L}_i \tilde{H} N_i + y_N \bar{N}_i N_j^c \chi_k + \frac{1}{2} u \bar{N}_i^c N_i + \frac{\varphi_i}{\Lambda} \bar{L}_i H (y_e e_R + \omega^{1-i} y_\mu \mu_R + \omega^{i-1} y_\tau \tau_R) + \text{h.c.}$$

$$i \neq j \neq k \neq i, \omega = e^{i2\pi/3}$$

+ 精确破坏项

$$-\mathcal{L}_{A_4} = \frac{1}{2} \epsilon_{ij} v_\chi \bar{N}_i^c N_j + \text{h.c.}$$

$$\epsilon_{12} = \epsilon_{13} = 0, \epsilon_{22} = -\epsilon_{33}$$

$\mu - \tau$  反演对称性 & TM2 混合

$$|U| = \begin{pmatrix} \frac{2}{\sqrt{6}} \cos \theta & \frac{1}{\sqrt{3}} & \sqrt{\frac{2}{3}} |\sin \theta| \\ \left| \frac{1}{\sqrt{6}} \cos \theta - \frac{i}{\sqrt{2}} \sin \theta \right| & \frac{1}{\sqrt{3}} & \left| \frac{1}{\sqrt{6}} \sin \theta + \frac{i}{\sqrt{2}} \cos \theta \right| \\ \left| \frac{1}{\sqrt{6}} \cos \theta - \frac{i}{\sqrt{2}} \sin \theta \right| & \frac{1}{\sqrt{3}} & \left| \frac{1}{\sqrt{6}} \sin \theta - \frac{i}{\sqrt{2}} \cos \theta \right| \end{pmatrix}$$

$$\theta_{23} = 45^\circ$$

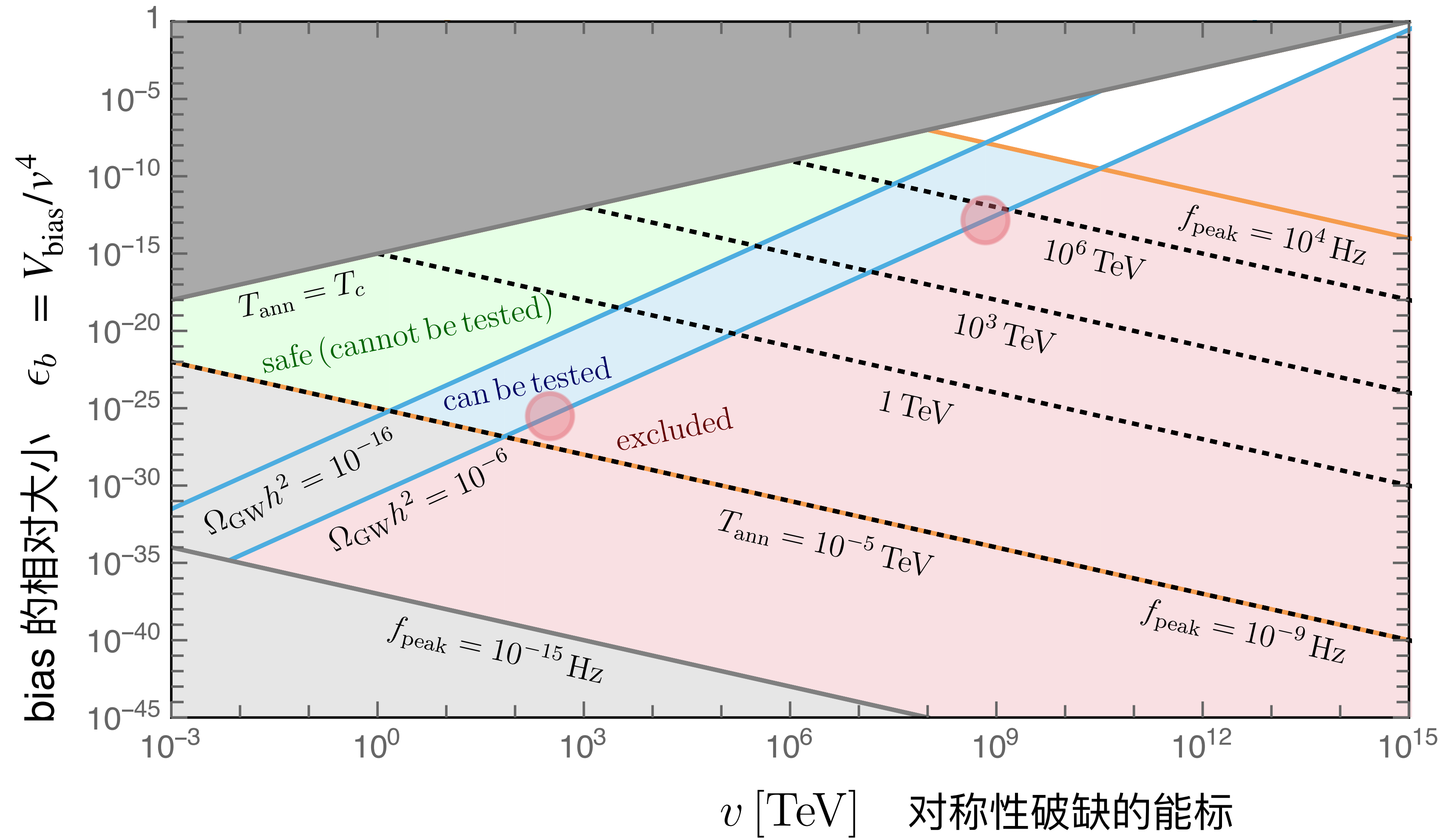
$$\delta = \pm 90^\circ$$

$$\alpha_{21}, \alpha_{31} = 0, 180^\circ$$

$$\sin \theta_{12} = \frac{1}{\sqrt{3} \cos \theta_{13}}$$

$$\sin \theta_{13} \simeq 2 \sqrt{\frac{2}{3}} \frac{|\epsilon_{22}| v_\chi M_2}{|\Delta M_{31}^2|}$$

# 检验分立味对称性



# 总结 & 展望

- ✓ Abel 畴壁展现出与  $Z_2$  畴壁很不一样的性质
  - ✓  $Z_4$  畴壁有两种: 临近 (adjacent) 畴壁 & 非临近 (non-adjacent) 畴壁, 后者在某些参数空间不稳定
  - ✓  $Z_N$  畴壁可以很复杂: 比如, string-bounded DWs, DW-wrapped DWs, 我们对  $Z_N$  畴壁给了不完备的分类
- ✓ 非 Abel 畴壁, 以  $S_4$  为例
  - ✓ 一共5类不同的畴壁: SI、SII、TI、TII、TIII, 前两类隔离  $Z_2$  真空, 后三类隔离  $Z_3$  真空
  - ✓ 在部分参数空间, SI、TI、和 TIII 会不稳定
- ✓ bias terms 需要引入进来, 以避免宇宙学问题
  - ✓ bias 可使简并真空发生劈裂, Abel 畴壁 和 非 Abel 畴壁存在更多的简并真空, 劈裂后得到很多能级
- ✓ 畴壁崩塌可以导致引力波, 通过畴壁引力波的观测可以检验高能标处的分立对称性
  - ✓ 引力波的强度和峰值频率取决于分立对称性的破缺能标和bias的大小
  - ✓ 由于Abel 畴壁 和 非 Abel 畴壁引入了更多复杂的结构, 可以预期它们产生的引力波信号将会与 $Z_2$  畴壁有所不同

非常感谢!